



La storia della luce

Luca G Molinari

Varese, 13 novembre 2015



Georges de La Tour (1642) - Louvre

2015 ANNO
DELLA LUCE

I50
ANNI
DELLE LEGGI
DELL'ELETTRONAGNETISMO





COSA E' LA LUCE?



ESO/H.H. Heyer

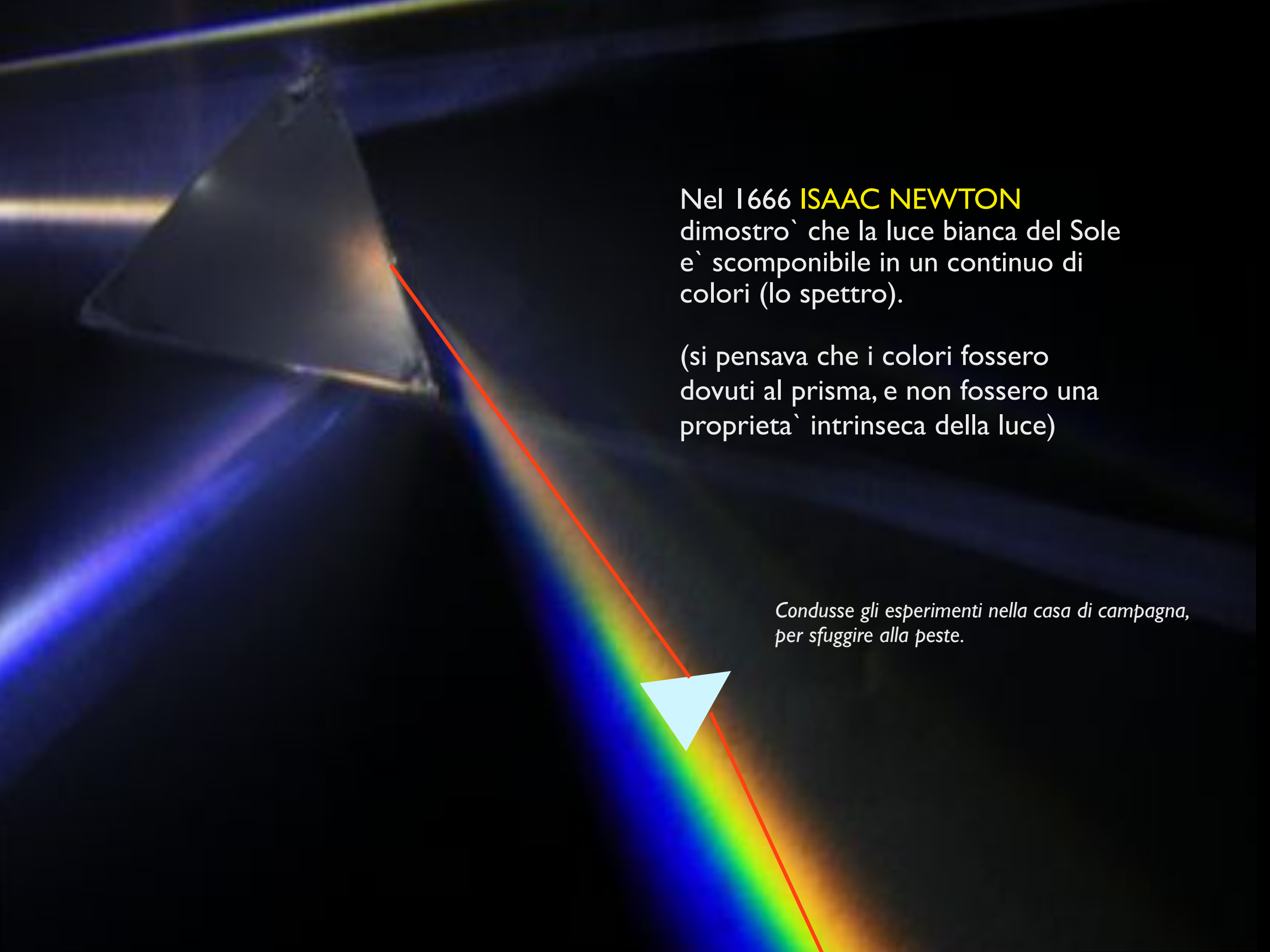


DUECENTO ANNI DI STORIA DELLA FISICA e DELLA LUCE



Lo spettro della luce



A photograph of a triangular prism made of clear glass or crystal. It is positioned at an angle, with a bright beam of white light entering from the left and dispersing into a vibrant rainbow of colors (red, orange, yellow, green, blue, indigo, violet) as it exits on the right. A red line extends from the top vertex of the prism to a white arrowhead pointing towards the text below.

Nel 1666 ISAAC NEWTON
dimostro` che la luce bianca del Sole
e` scomponibile in un continuo di
colori (lo spettro).

(si pensava che i colori fossero
dovuti al prisma, e non fossero una
proprieta` intrinseca della luce)

*Condusse gli esperimenti nella casa di campagna,
per sfuggire alla peste.*

La radiazione infrarossa

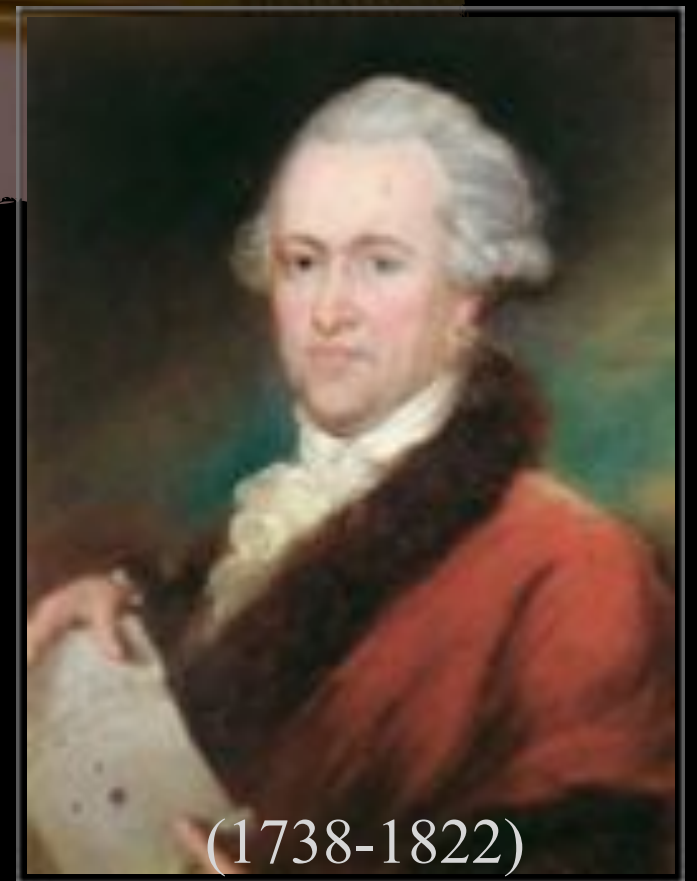
William Herschel - 1800



Luce e calore radiante sono forme dello stesso fenomeno

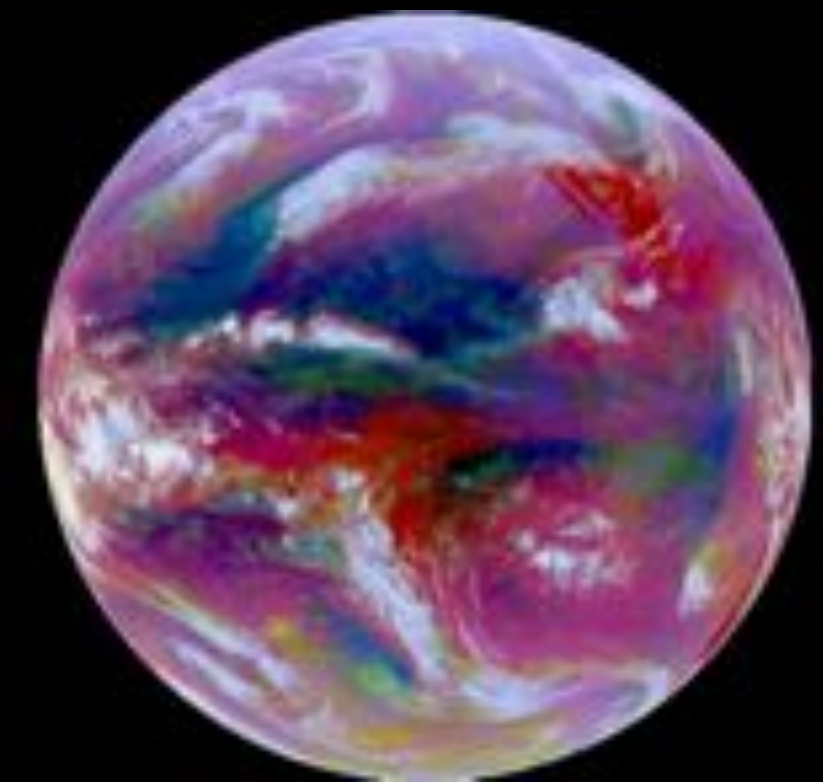
... we are not allowed, by the rules of philosophizing, to admit two different causes to explain certain effects, if they may be accounted for by one.

... non ci e` consentito, dalle regole del ragionamento,
ammettere due differenti cause per spiegare certi effetti,
se questi possono essere spiegati da una sola.



(1738-1822)





GOES 9 satellite meteo
35,000 km sull'equatore e
Oceano Pacifico orientale
(Genn 1997)

Telescopio spaziale Herschel - IR

lanciato nel 2009 insieme al satellite Planck



... e della galassia M31

Le polveri della Via Lattea

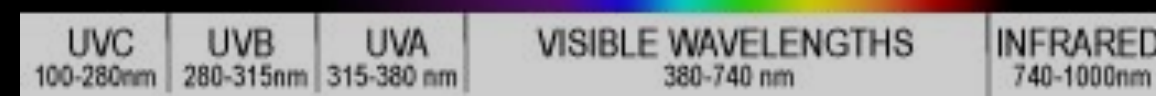
La radiazione UV (I 80 I)



Johann Wilhelm Ritter

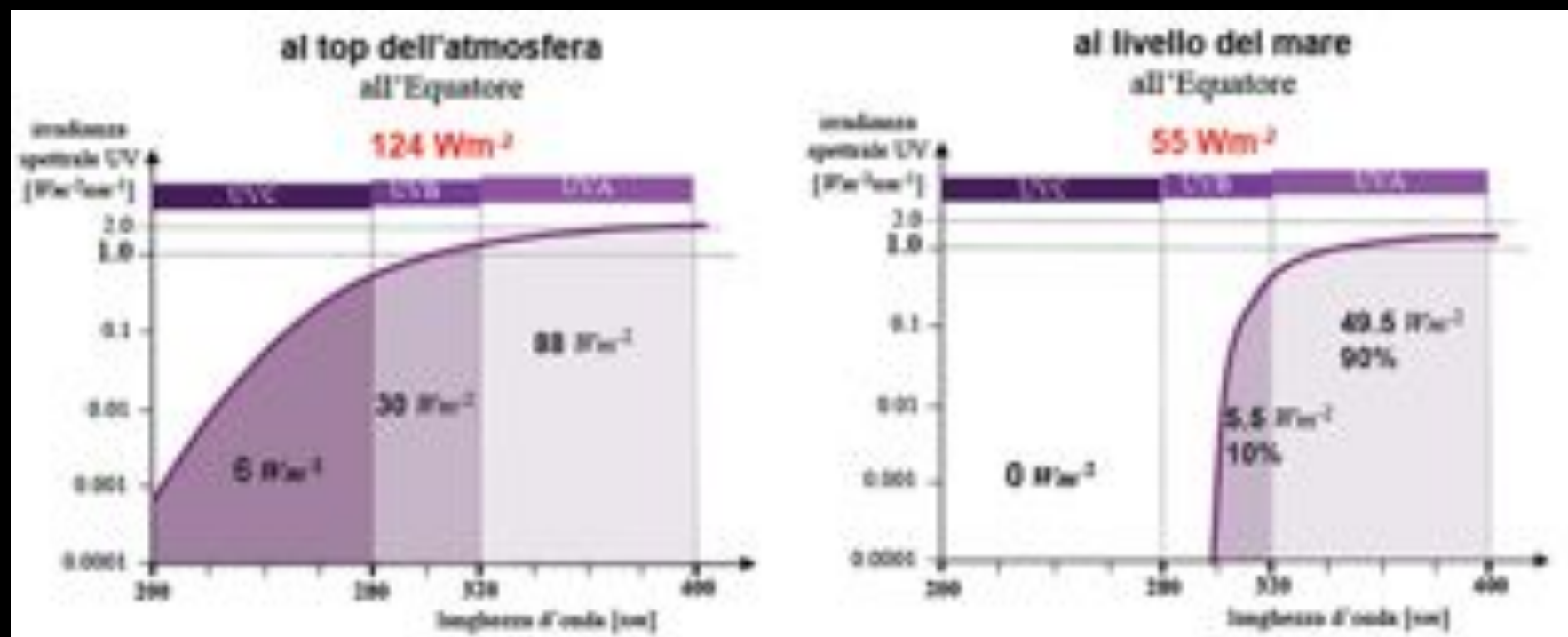


Una radiazione invisibile oltre il violetto
impressiona carta impregnata con sali d'argento
(piu` che la radiazione violetta)





I raggi **UVC** (e parte dei **B**) sono bloccati dall'ozono stratosferico tra 10 e 40 km dove la temperatura cresce con la quota (3 molecole O₃ ogni 10 milioni)





Sole in UV e transito di Venere (2012)

SolarDynamics Observatory (NASA)



GALEX Galaxy Evolution Explorer

Visible/DSS



Ultraviolet/GALEX



NGC 404: the Ghost of Mirach (Beta And, la schiena)



Cygnus Loop Nebula (d=1500 a.l., SN 5-8mila anni fa)
Galex ultraviolet telescope



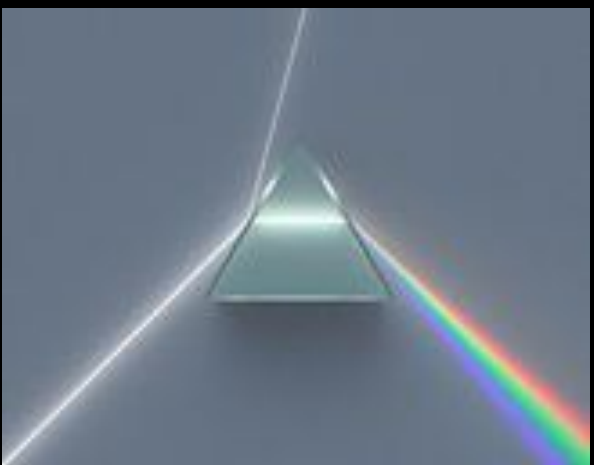
Galex, M33 (d=3 milioni a.l.)



LA SPETTROSCOPIA
1814



Joseph Fraunhofer
(Monaco 1787 - 1826)



Le linee di Fraunhofer (1814)



Joseph Fraunhofer osservò che lo spettro del Sole, quando sufficientemente disperso, è attraversato da molte sottili linee scure (ne contò più di 500).

W. H. Wollaston le aveva già osservate nel 1802, senza attribuirvi significato.

Fraunhofer studiò gli spettri di molti corpi celesti. Quello della Luna mostrava le stesse linee nere del Sole. Notò che le linee brillanti del Sodio corrispondono alle righe scure D nello spettro solare; ma non fu in grado di darne spiegazione.

Gustav Robert Kirchhoff

(1824-1887)

&

Robert Wilhem Bunsen

(1811-1899)

Il sodalizio ebbe inizio nel 1850 a Breslavia dove Kirchhoff insegnava e dove, poco dopo, arrivò Bunsen.

Trasferitosi Bunsen ad Heidelberg, Kirchhoff lo seguì nel 1854.

Kirchhoff e Bunsen posero le basi dell'**analisi spettroscopica**, scoprendo che ogni riga spettrale è caratteristica dell'elemento chimico che la emette.



*R.W.Bunsen, G.Kirchhoff und H.E.Roscoe
1862*



Li



Na



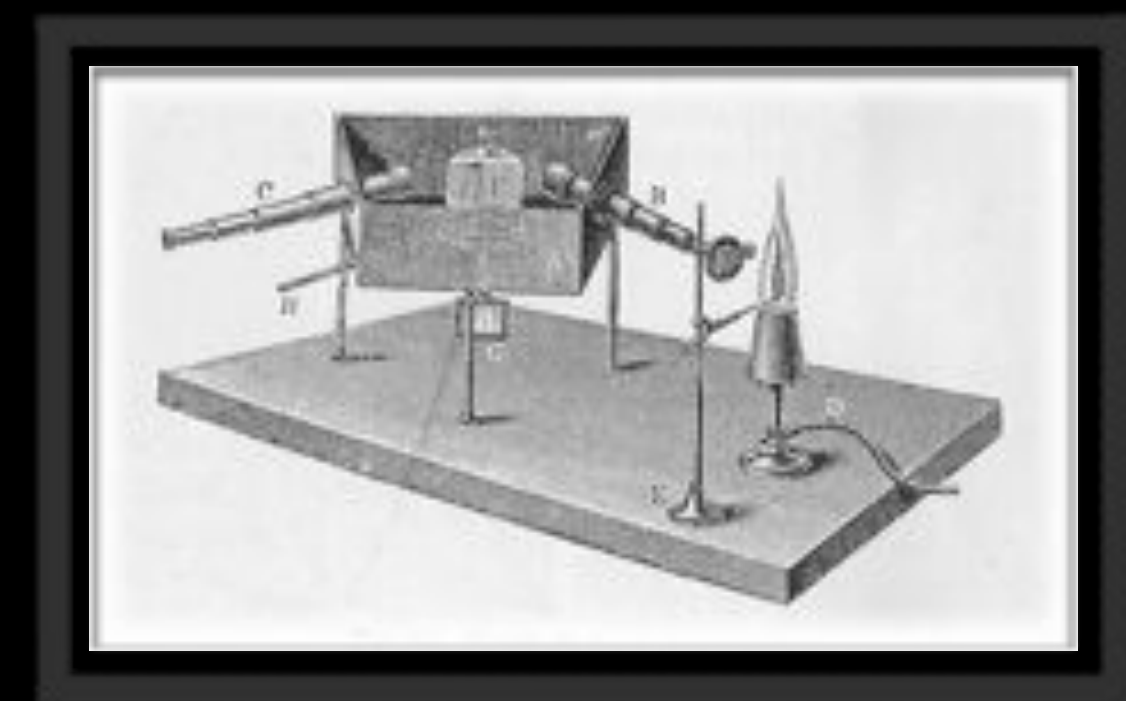
K



Cu

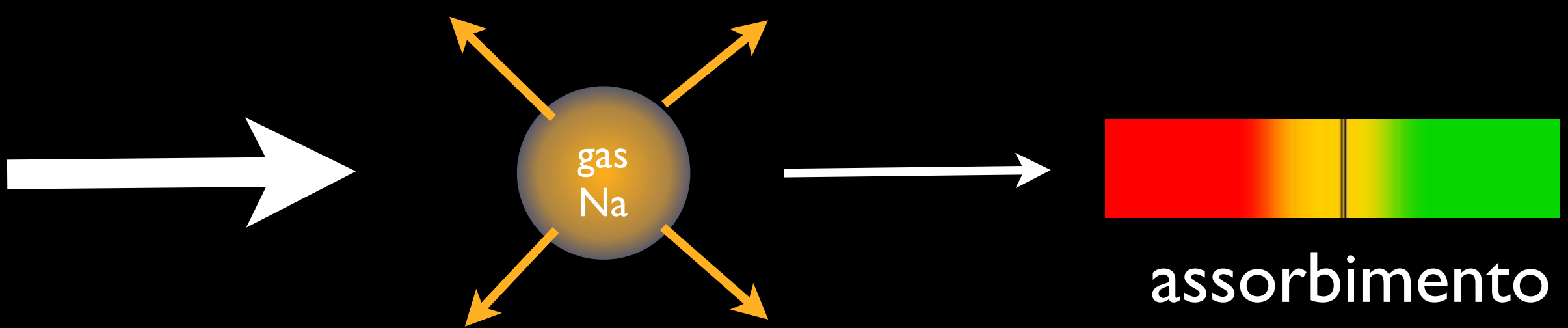
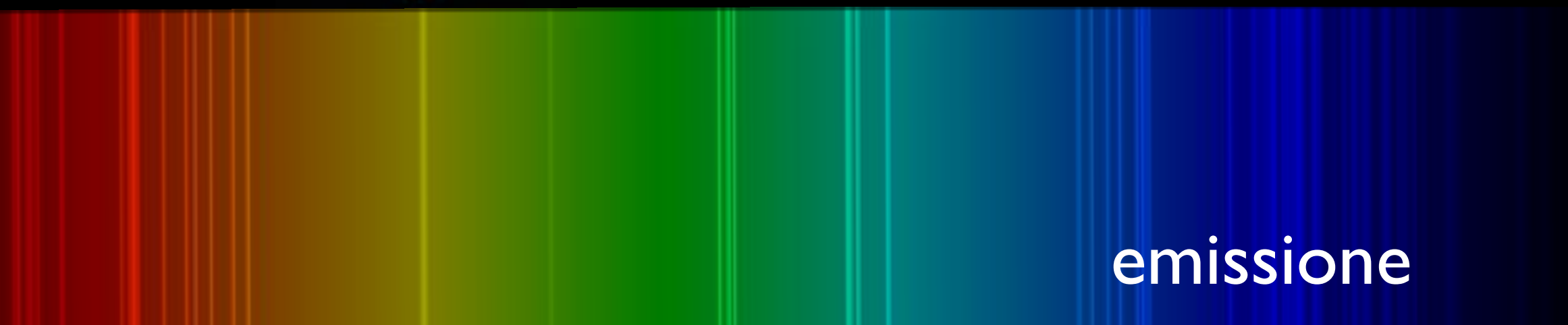


Ca

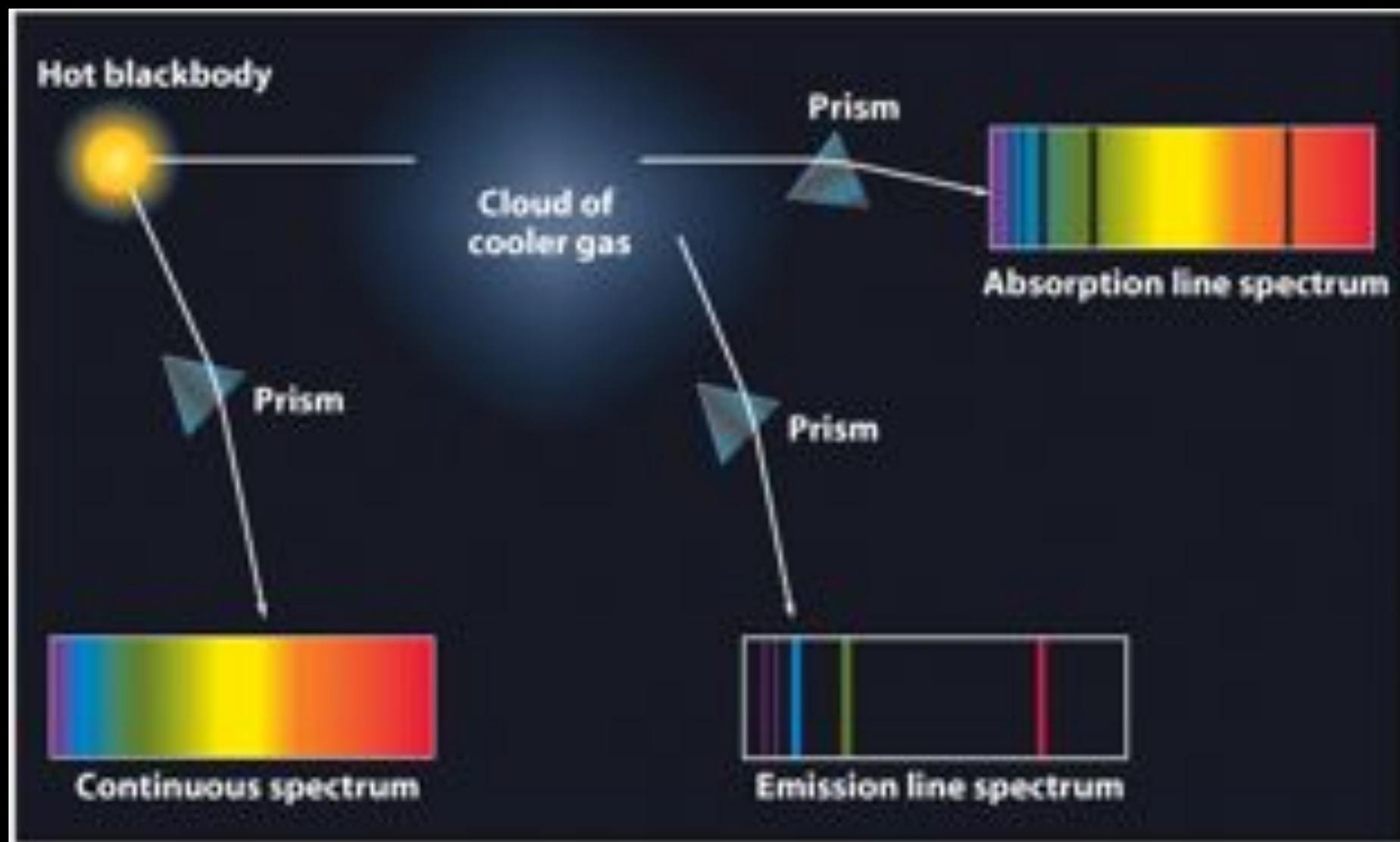




Na - SODIO

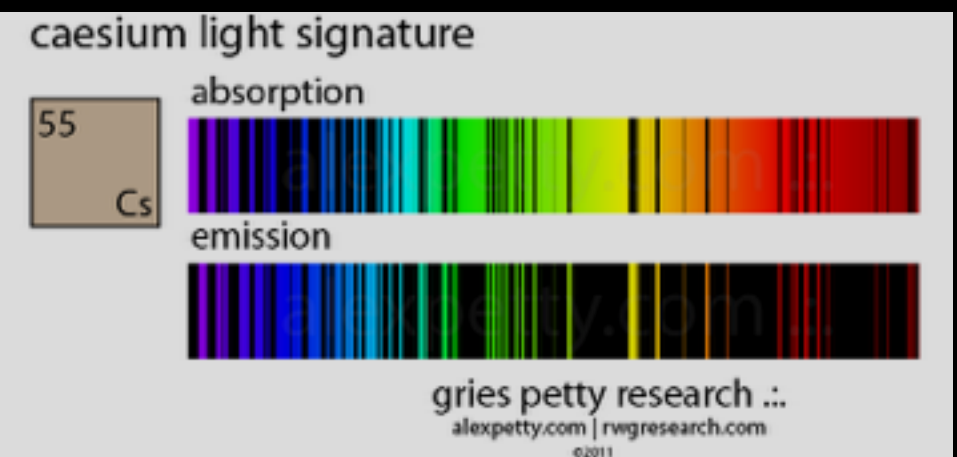


Un gas che emette uno spettro di linee
deve, alla stessa temperatura,
assorbire lo stesso spettro di linee





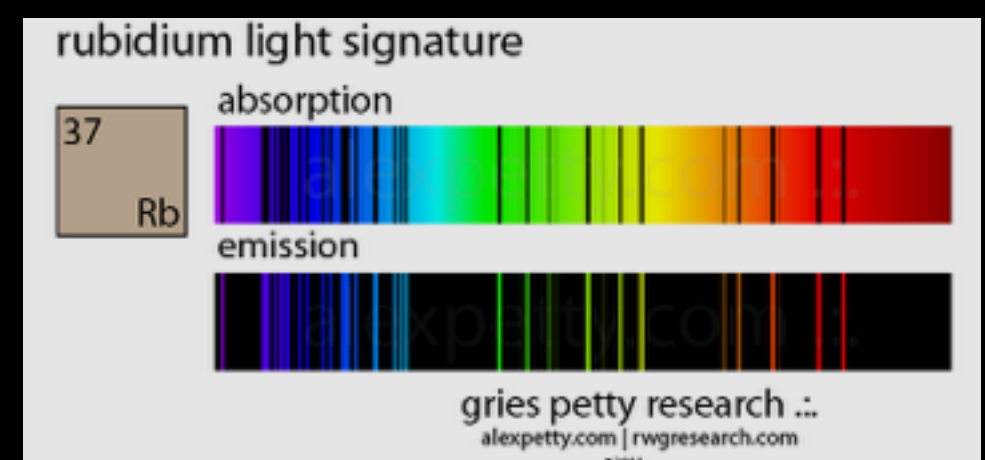
corbis



CESIO (1860) *caesius* = *azzurro cielo*

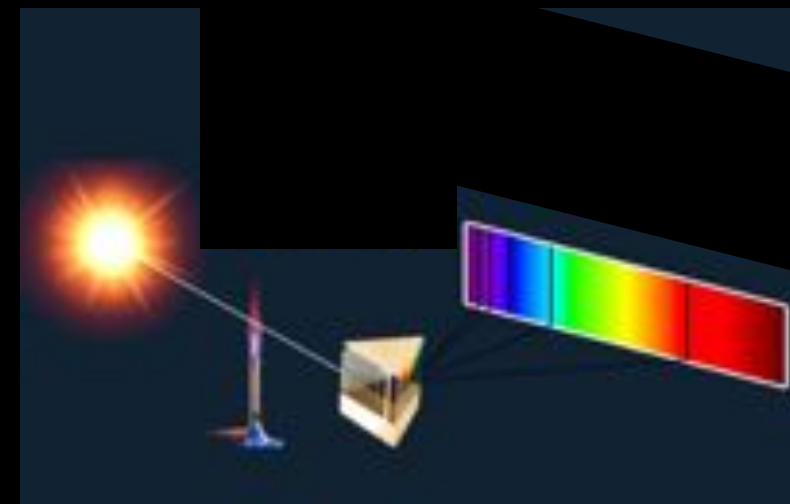


RUBIDIO (1861) *rubidus* = *rosso cupo*

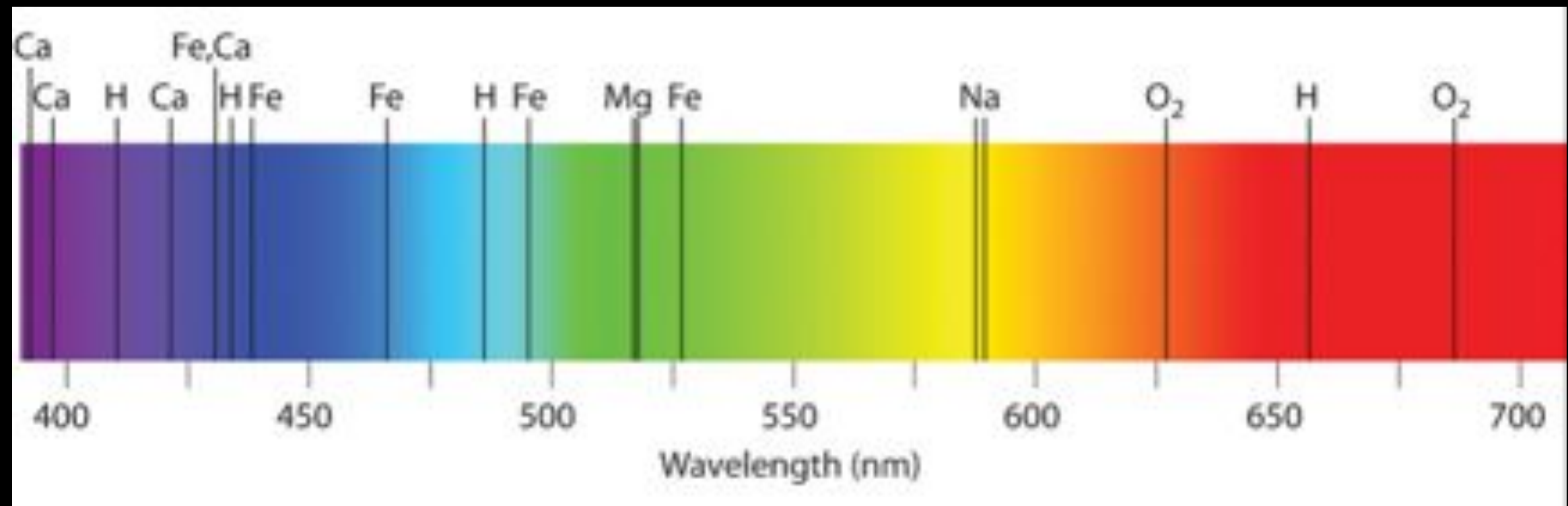


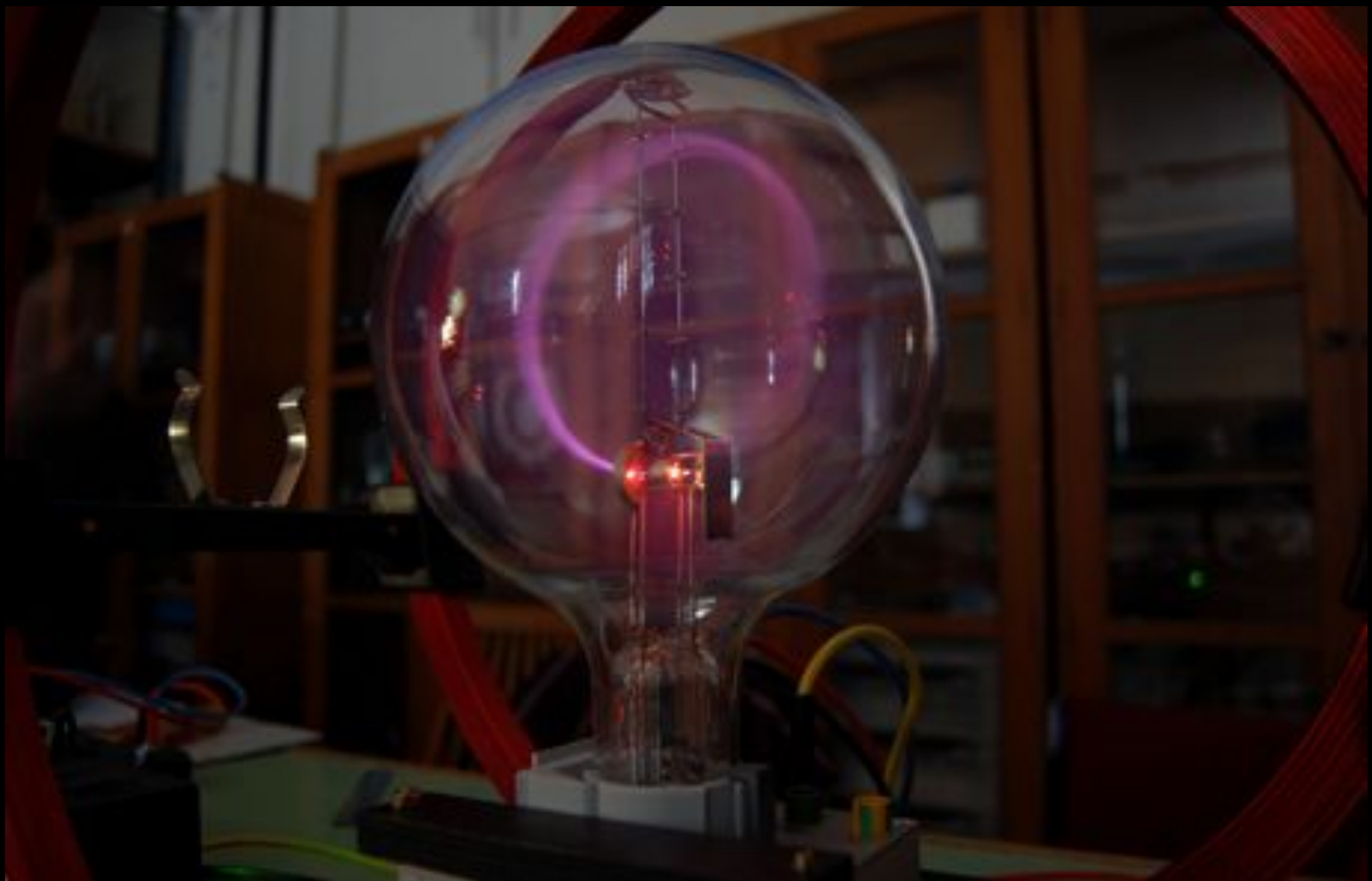
Le linee di Fraunhofer nello spettro solare sono dovute all'assorbimento dello spettro continuo (emesso dall'interno del Sole) da parte degli elementi presenti nell'atmosfera solare più fredda.

Über die fraunhoferschen Linien
Annalen der Physik (1860)



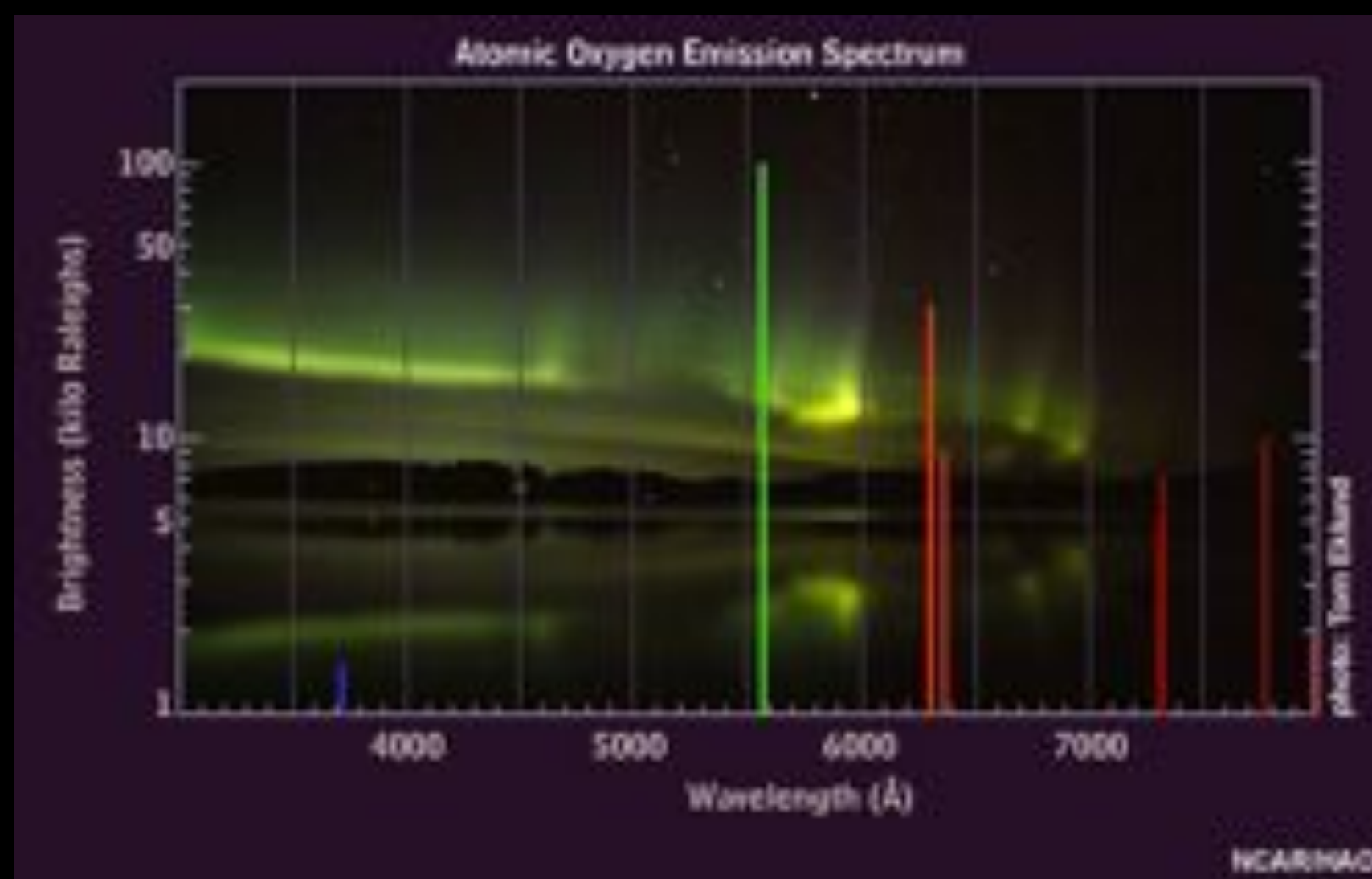
Lo spettro del Sole

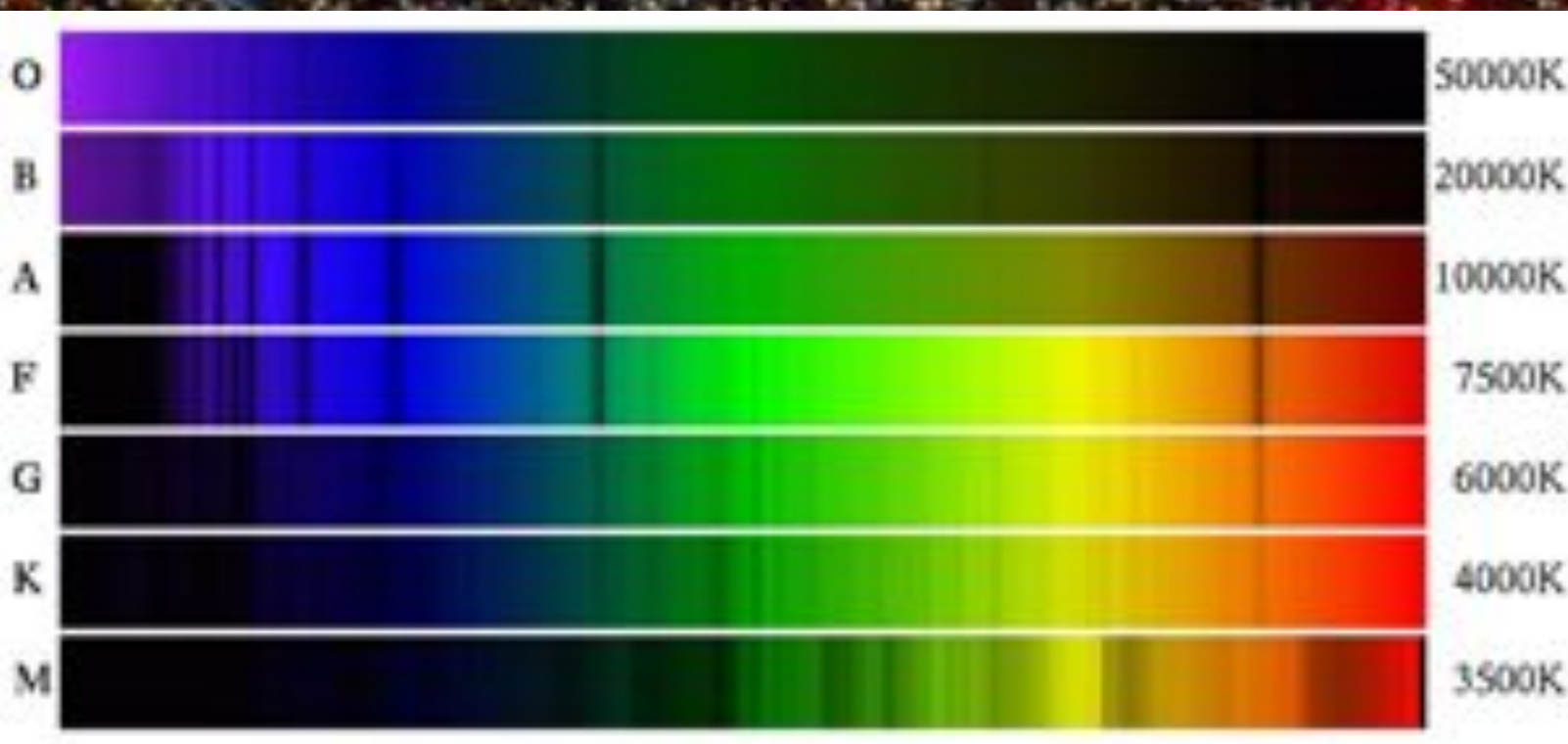




Gli elettroni in campo magnetico compiono moto circolare
e collidono con le molecole del gas nell'ampolla, che emettono luce







Oh Be A Fine Girl Kiss Me

Padre Angelo Secchi

Si distinse per l'invenzione di nuovi strumenti (eliospettoscopio, spettroscopio stellare) e soprattutto nell'individuazione di 5 classi stellari (di Secchi) dedotti da quasi 4000 spettri, studiati a partire da 1863.

- 1) Cupola equatoriale di Merz
- 3) Cupola circolo meridiano
- 6) Antenna con il globo in vimini che, sganciato al mezzogiorno, dava il segnale per lo sparo del cannone sul Castel S. Angelo.
- 7) Cavi elettrici per la trasmissione dei segnali dei sensori meteorologici al Meteorografo registratore.

7

Montecitorio.



Osservatorio del Collegio Romano



JAMES CLERK MAXWELL



1831-1879





Diametro: 270 mila km

Spessore: 10 m - 1 Km

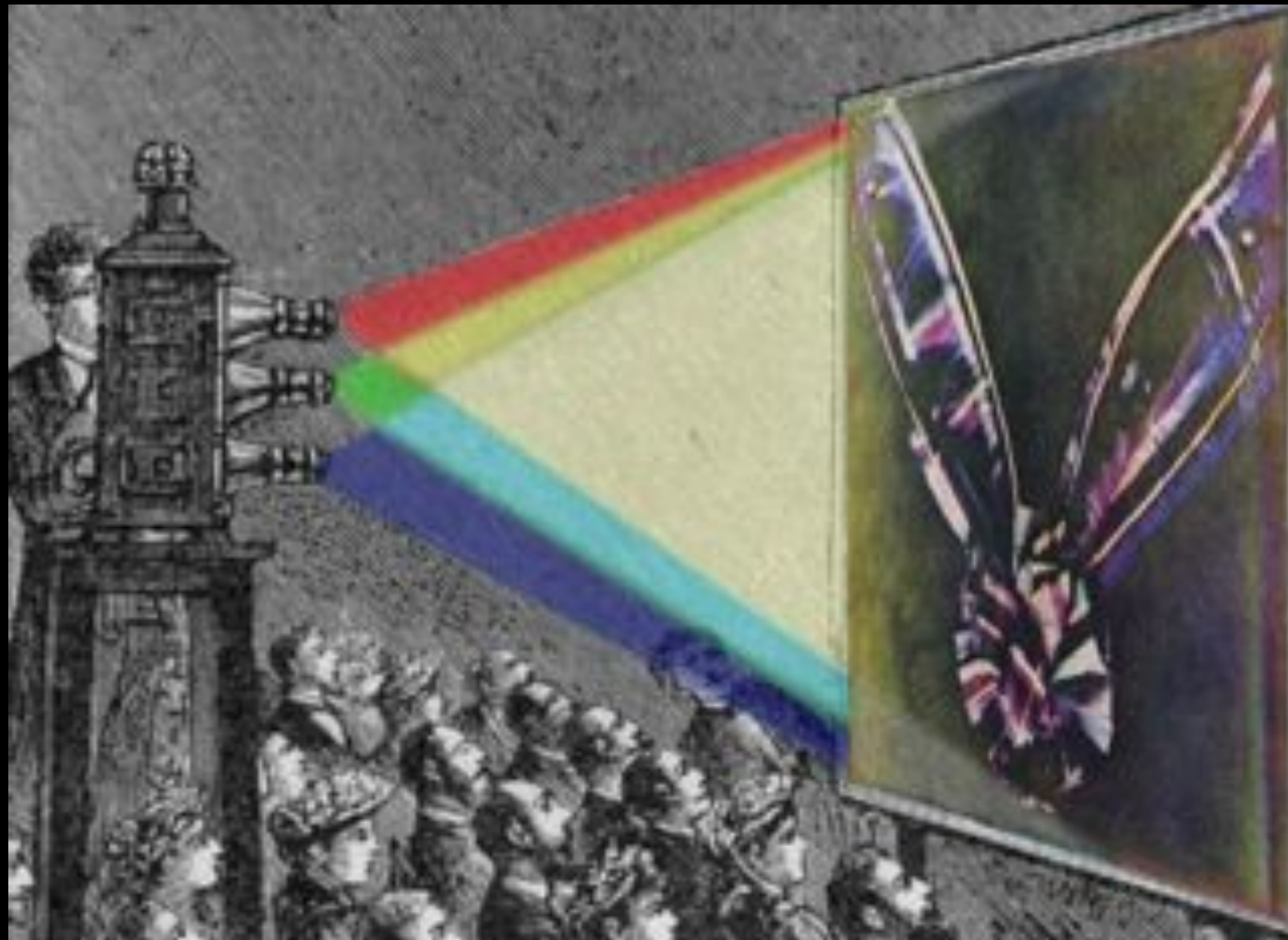
polveri ghiacciate che
collidono e polverizzano

On the stability of the motion of Saturn's rings

Premio Adams 1856 (Cambridge)

Gli anelli sono composti da particelle

La prima fotografia a colori



TARTAN RIBBON (1861)
eseguita da un fotografo
in tre filtri rosso verde blu

LE EQUAZIONI DI MAXWELL (1865)

$$\nabla \cdot E = 4\pi\rho$$

$$\nabla \cdot B = 0$$

$$\nabla \times E = -\frac{1}{c} \frac{\partial B}{\partial t}$$

$$\nabla \times B = 4\pi J - \frac{1}{c} \frac{\partial E}{\partial t}$$

Gilbert
Coulomb
Volta
Gauss
Ampere
Franklin
Faraday

Biot

Savart

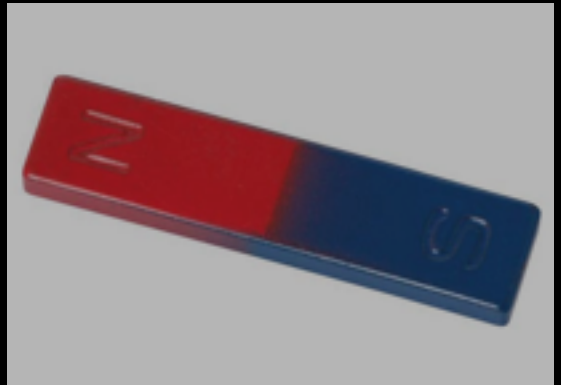
Ohm

Oersted

Neumann

Lenz

...



$$\nabla \cdot E = 4\pi\rho$$

$$\nabla \cdot B = 0$$

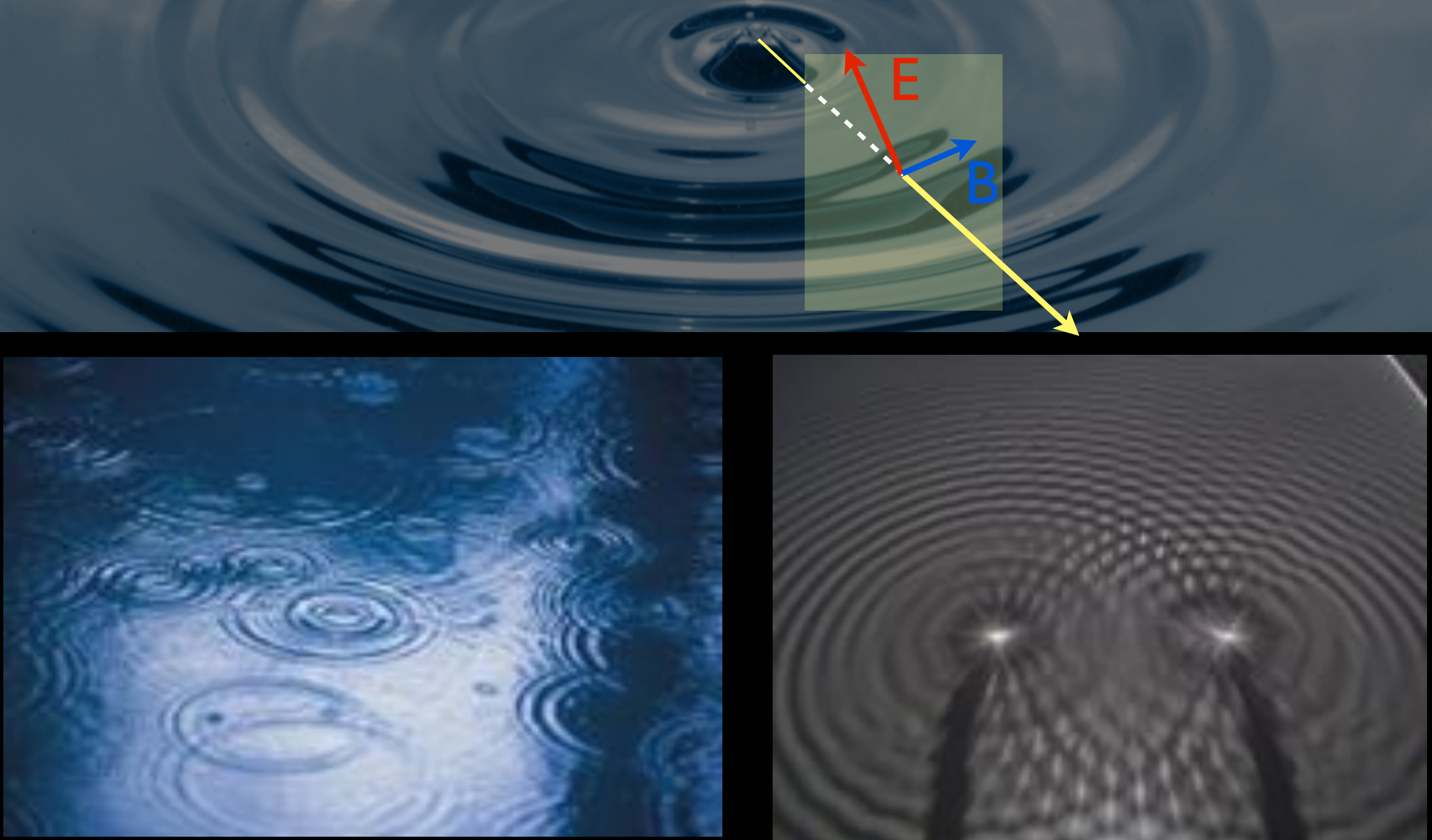
$$\nabla \times E = -\frac{1}{c} \frac{\partial B}{\partial t}$$

$$\nabla \times B = 4\pi J - \frac{1}{c} \frac{\partial E}{\partial t}$$

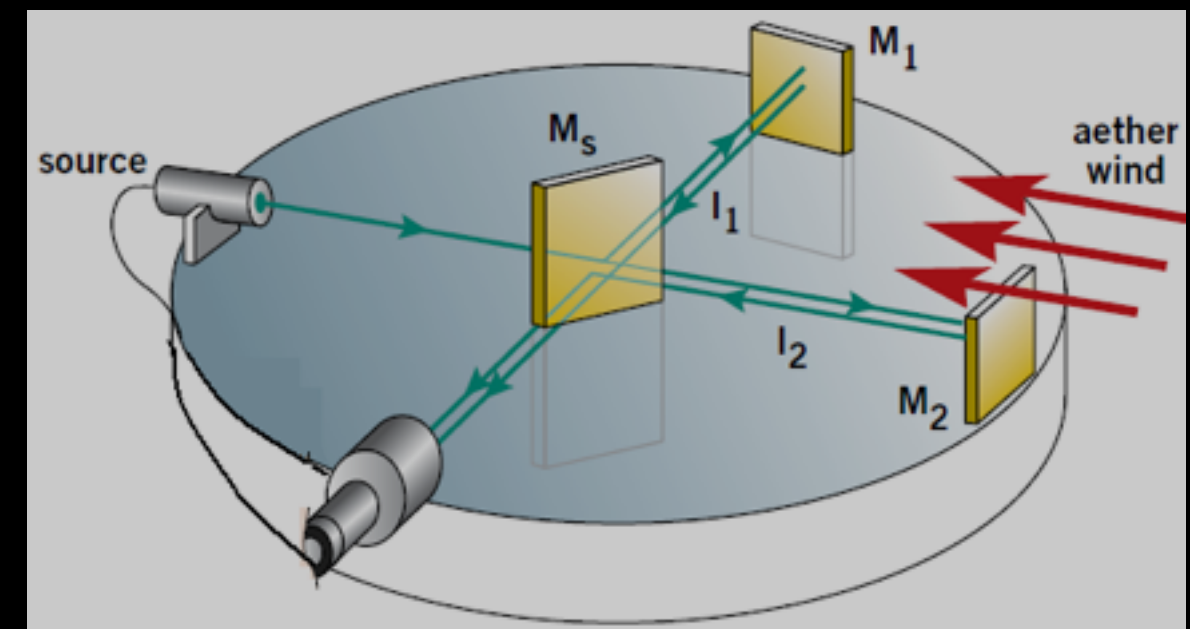
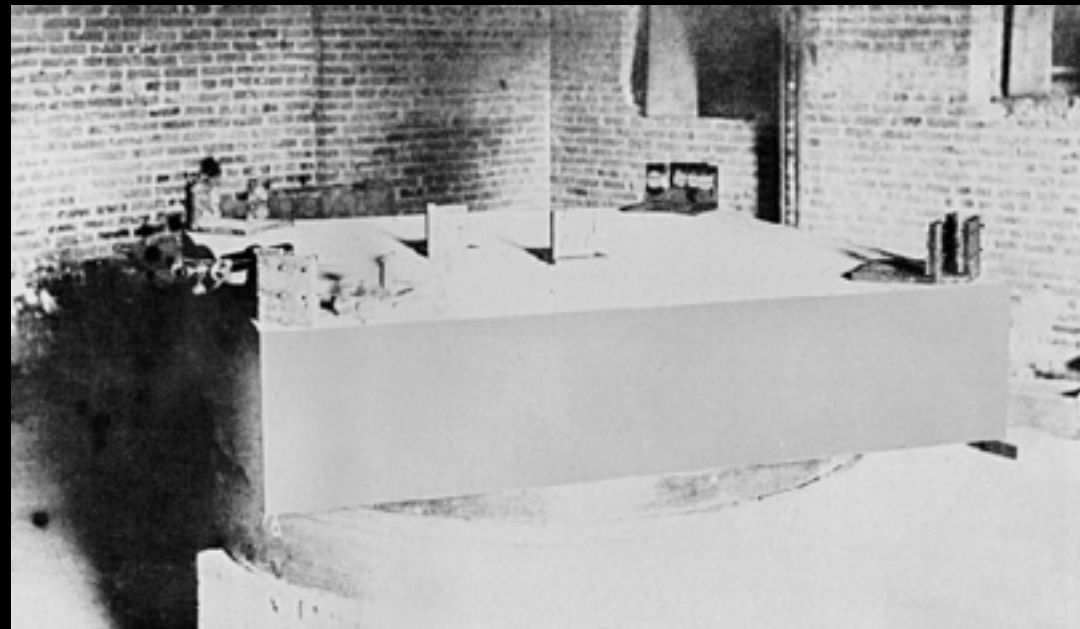


La teoria unificata dell'elettricità e del magnetismo

Soluzioni delle equazioni di Maxwell senza sorgenti: LE ONDE ELETTROMAGNETICHE



Il problema dell'etero



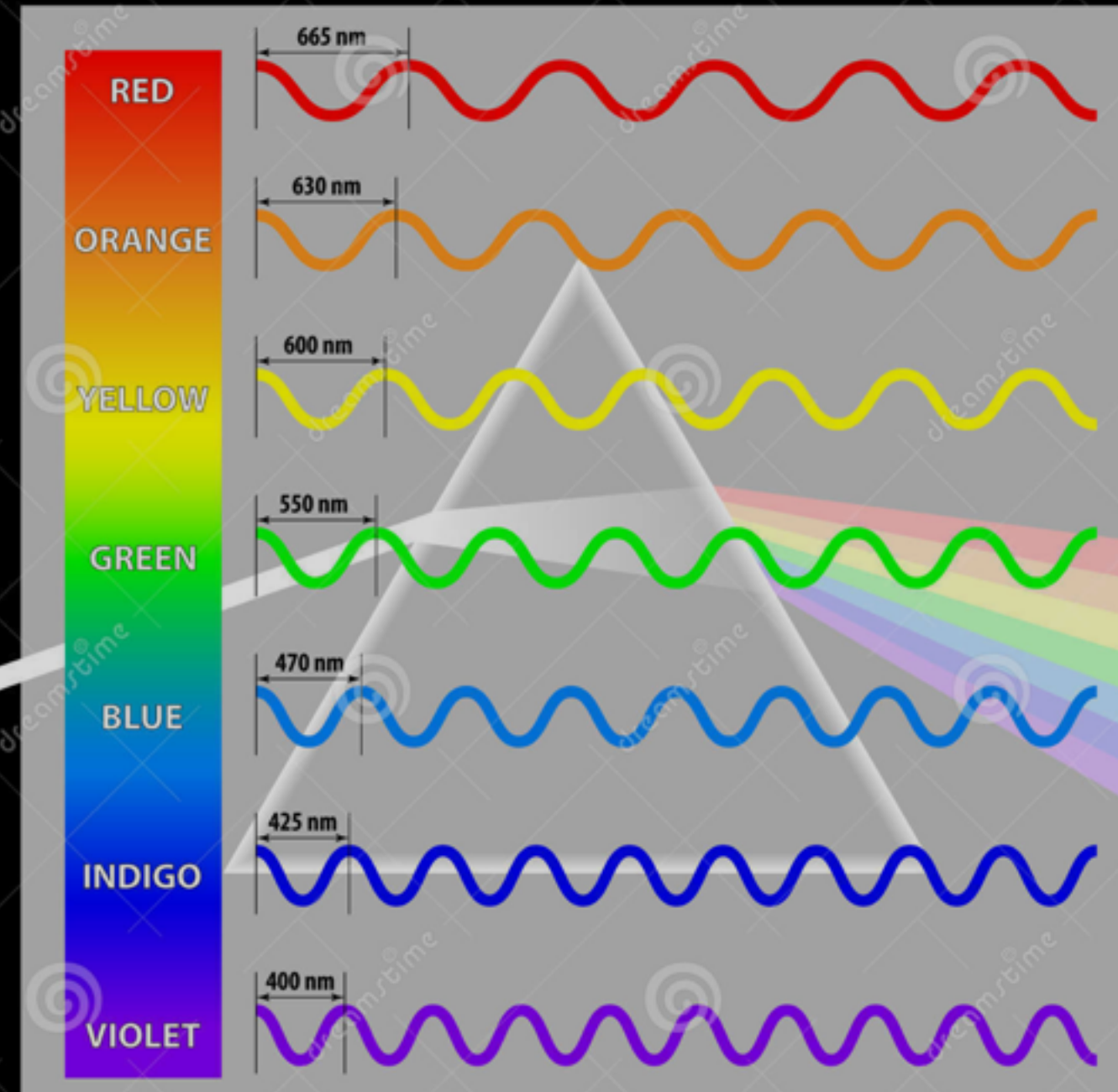
L'esperimento di Michelson e Morley (1887)

The special theory of relativity
owes its origins to Maxwell's equations
of the electromagnetic field
(Albert Einstein)

UNA LUMINOSA SCOPERTA

" The speed of electromagnetic waves is nearly that of light ... which gives a good reason to conclude that light is somehow itself, an electromagnetic disturbance that propagates under the laws of electromagnetism "

1864, "Dynamical theory of the electromagnetic field"
discorso alla Royal Society, pubblicato nel 1865



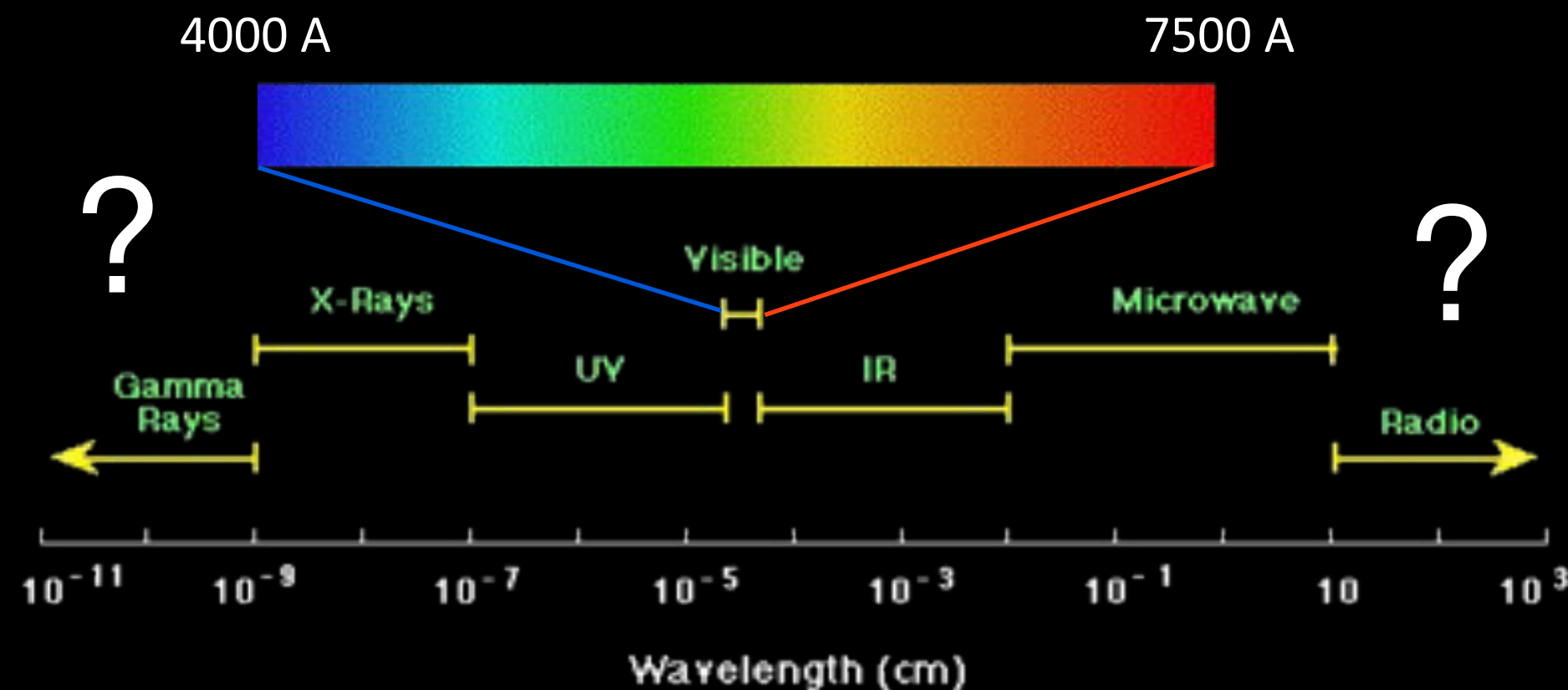
I colori che compongono la luce visibile sono **onde e.m.**

Le onde e.m. sono caratterizzate da una lunghezza d'onda.

Trasportano energia e hanno nel vuoto la stessa *velocità*
 $c = 300\text{mila km/s}$

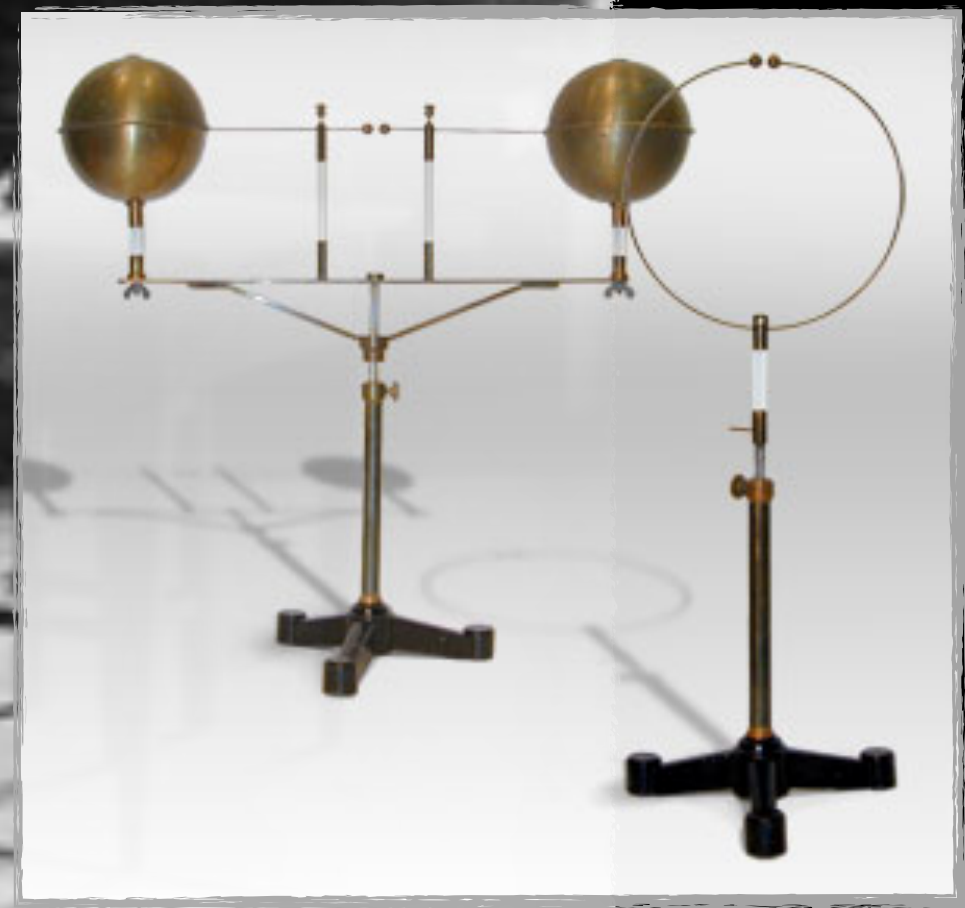
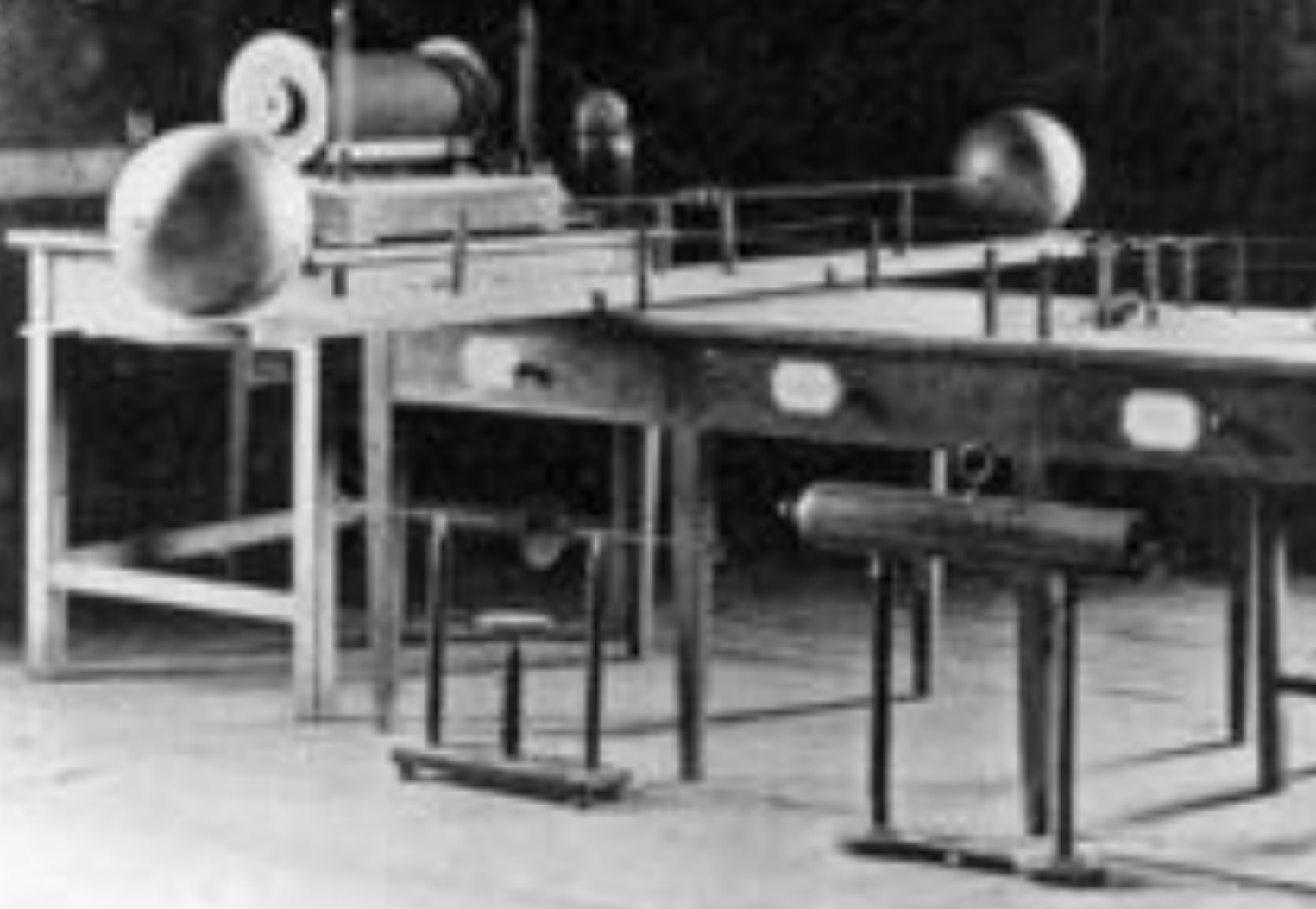
Ogni elemento chimico emette e assorbe un proprio spettro di righe (onde e.m.)

Lo spettro elettromagnetico



Gli esperimenti di Hertz

Negli anni 1885 - 1889, al Politecnico di Karlsruhe,
Heinrich Hertz fu il primo a produrre e studiare le onde radio,
previste matematicamente da Maxwell



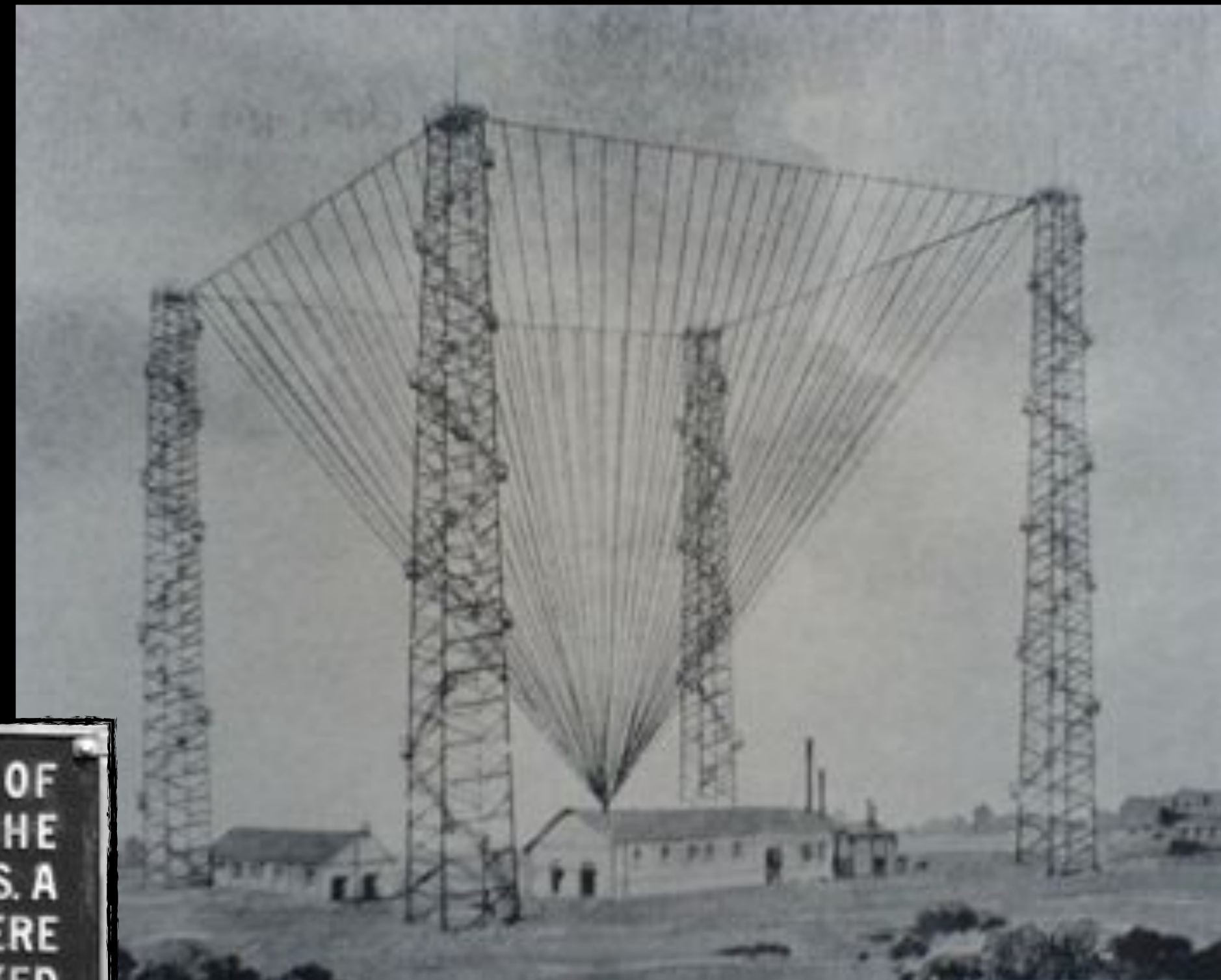
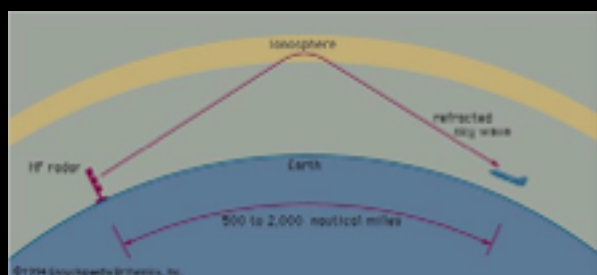
Guglielmo Marconi



Premio Nobel per la Fisica 1909

Nel novembre 1901 costruì a Poldhu (Cornovaglia) un grande trasmettitore. Poi attraverso l'Atlantico per St. Johns in Terranova, a oltre 3.000 chilometri.

Il 12 dicembre 1901 fu trasmesso il primo segnale radio transoceanico. Il messaggio era composto da tre punti (la S in codice Morse) e giunse dopo due riflessioni sulla ionosfera (100-400 km).



THIS IS THE SITE OF
THE BIRTH OF THE
AMERICAN WIRELESS. A
PIONEER STATION HERE
IN 1901 FIRST TALKED
WITH SHIPS AT SEA.
GUGLIELMO MARCONI

Essex Record Office

D/F 269/1/2683



Marconi's Wireless Telegraph Works, Chelmsford. Machine Shop.

Speakers & Sets
Mounts, Components
Chassis &c

Wireless Telegraph & Signal Company.

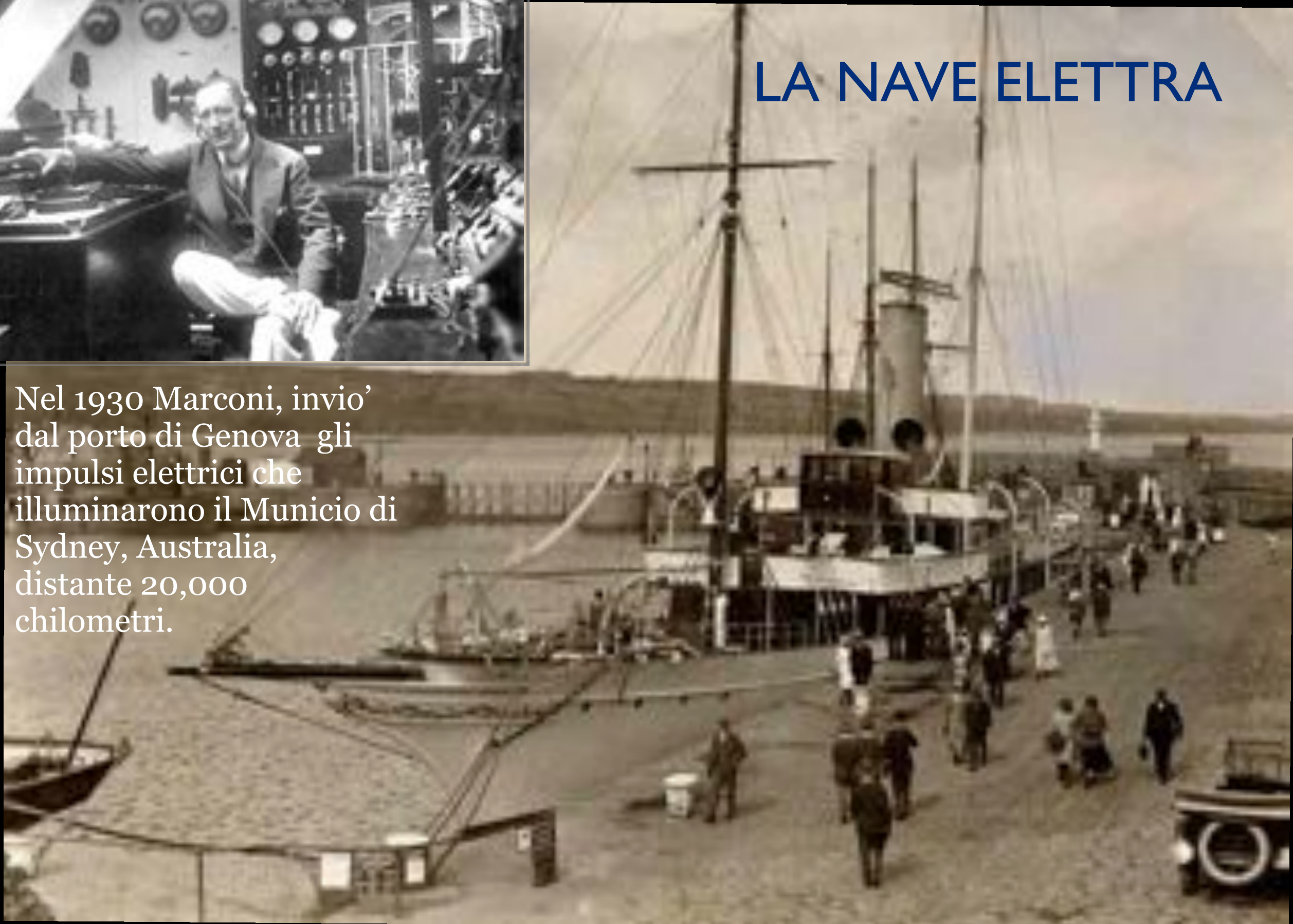


Ingegneri del British Post Office esaminano un apparecchio di radio-telegrafia di Marconi (1897)



LA NAVE ELETTRA

Nel 1930 Marconi, invio' dal porto di Genova gli impulsi elettrici che illuminarono il Municipio di Sydney, Australia, distante 20,000 chilometri.



"My father loved the sea and loved the yacht Elettra"
(Princess Elettra Marconi Giovannelli)



1931, Pio XI e Marconi per la prima trasmissione radio dal Vaticano

PRESIDENT SENDS WIRELESS MESSAGE TO KING EDWARD.

England's Ruler Returns the Compliment by Means of the Marconi System.

SOUTH WELLFLEET, Mass., Jan. 19.—The following messages were transmitted today by the Marconi system of wireless telegraphy between Cape Cod and Cornwall, England, between President Roosevelt and King Edward: His Majesty, Edward VII.

London, Eng.

THEODORE ROOSEVELT
Wellfleet, Mass., Jan. 19, 1903.

The Queen Sandringham, Jan. 19, 1963

The President,
202-35-25
202-35-26

White House, Washington, America
I thank you most sincerely for the kind message which I have just received from you, through Marconi's trans-Atlantic wireless telegraphy. I sincerely reciprocate in the name of the people of the British Empire the cordial greetings and friendly sentiment expressed by you on behalf of the American Nation and I heartily wish you and your country every possible prosperity.

EDWARD R. and L.

crooks
-Ruthless
inking

[View all books at publisher's site](#)

MARCONI MOURNED BY ENTIRE WORLD

Body Lies in State in Royal Academy in Rome—50,000 Pay Tributes to Inventor

FUNERAL CEREMONY TODAY

Important Radio Experiments on the Yacht Eletra Were Halted by Death

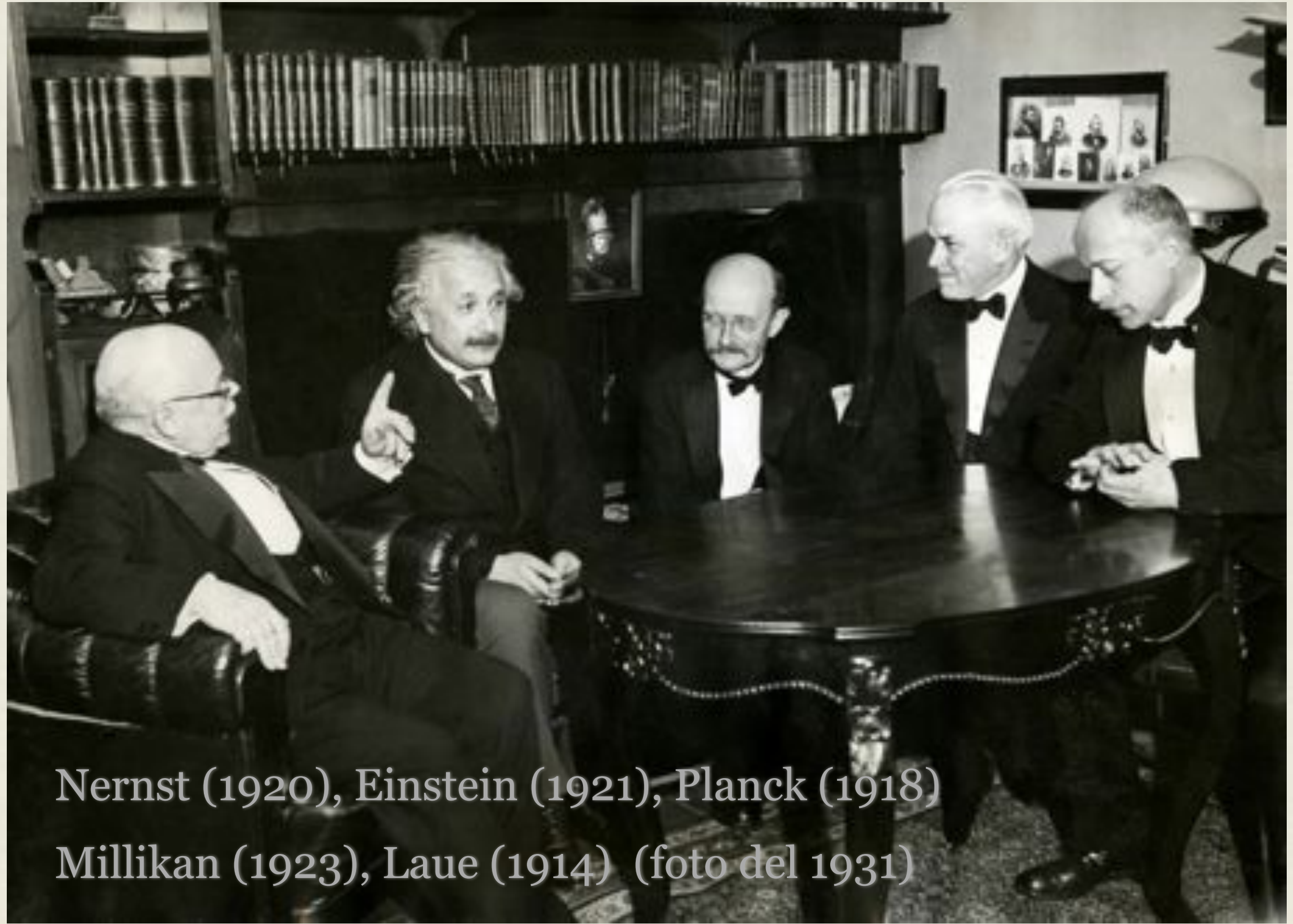
By ARNALDO COHEN
Written in The New York Times.
ROME, July 30.—Marquis Gagliano, 80, Marconi died of a heart attack.



Curie, Marconi, Bohr, Fermi, Majorana, Como 1931

Marconi Memorial a Washington



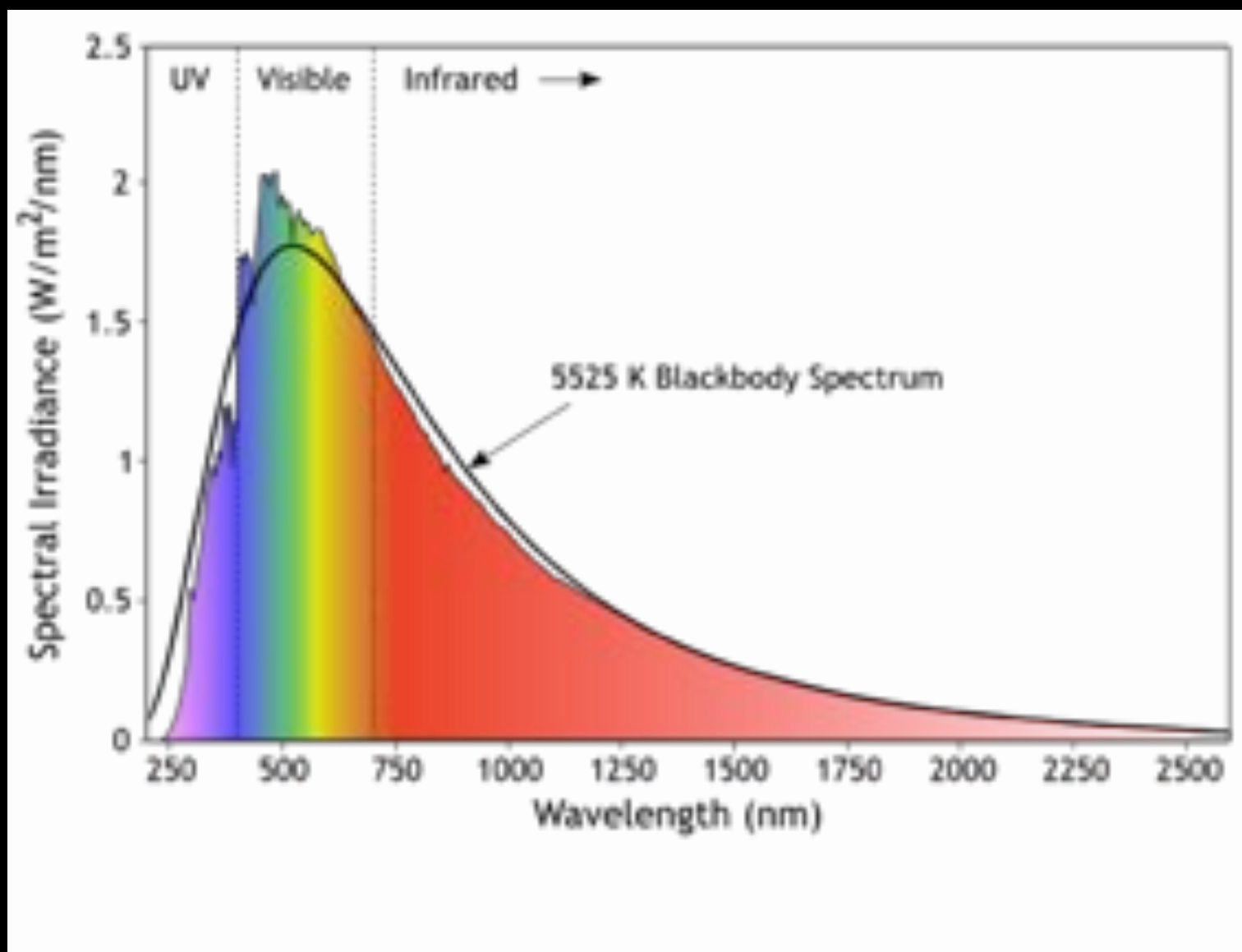


Nernst (1920), Einstein (1921), Planck (1918)

Millikan (1923), Laue (1914) (foto del 1931)

LA RADIAZIONE DEL CORPO NERO (1900)

(Legge di Planck, dopo una lunga ricerca)

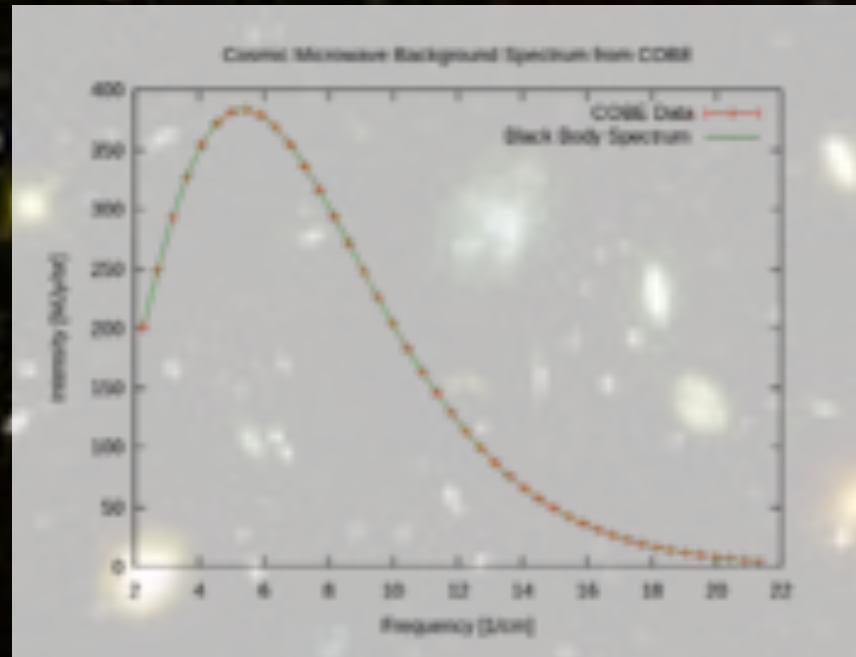


Kirchoff:

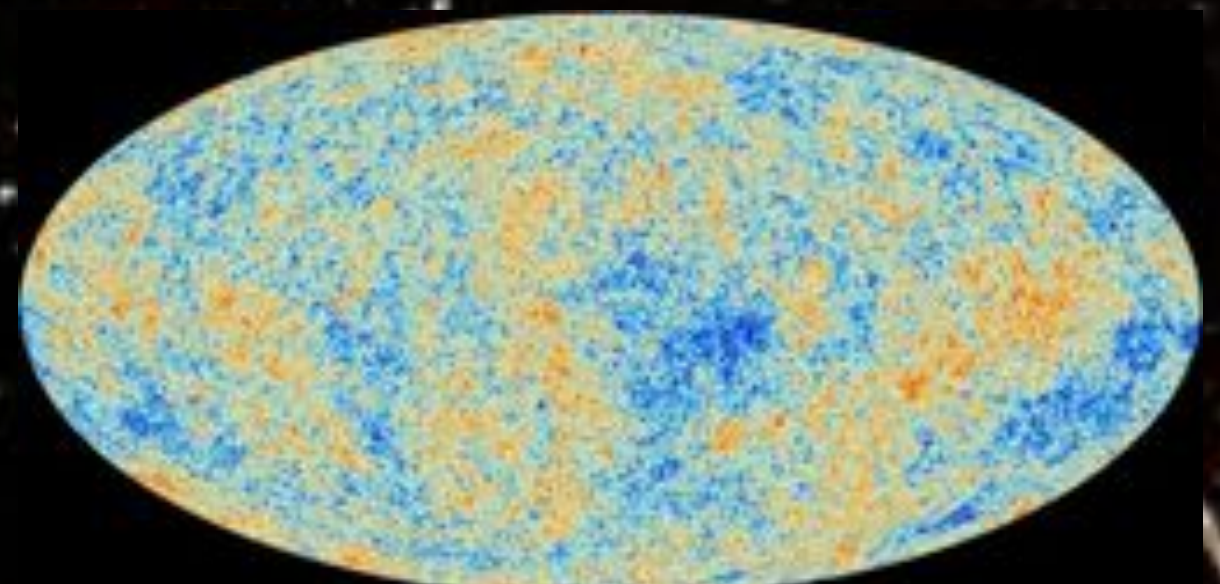
$$\frac{E(\lambda, T)}{A(\lambda, T)} = f(\lambda, T)$$

funzione universale,
corrispondente
all'emissione
di un corpo ideale con
 $A=1$ (corpo nero)

h

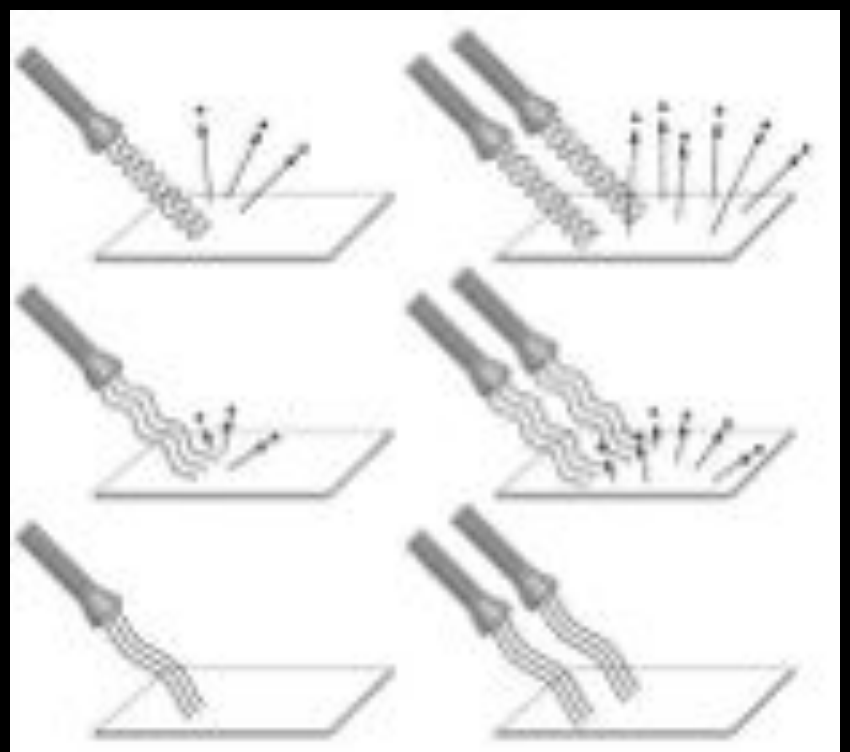


Il fondo cosmico di microonde



L'effetto photoelettrico

UV



IR

Le onde e.m. cedono energia
alla materia in forma di
particelle senza massa:

I FOTONI

Ogni fotone ha energia $E = h\nu$
(Einstein 1905)



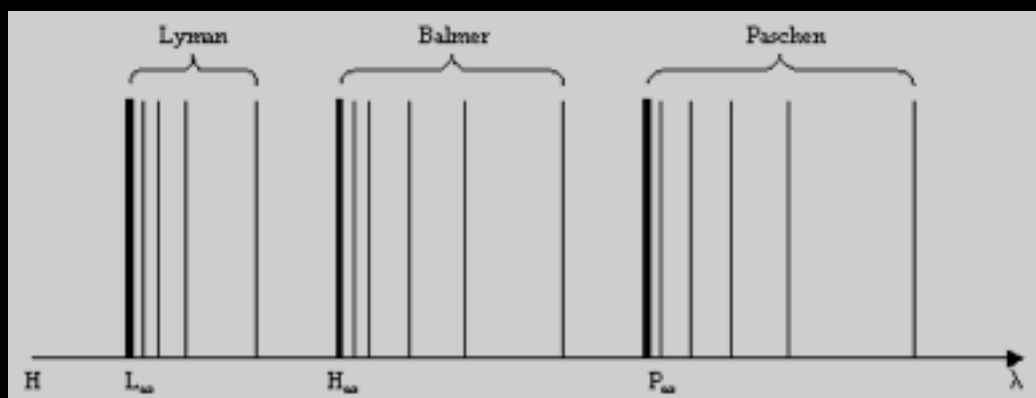
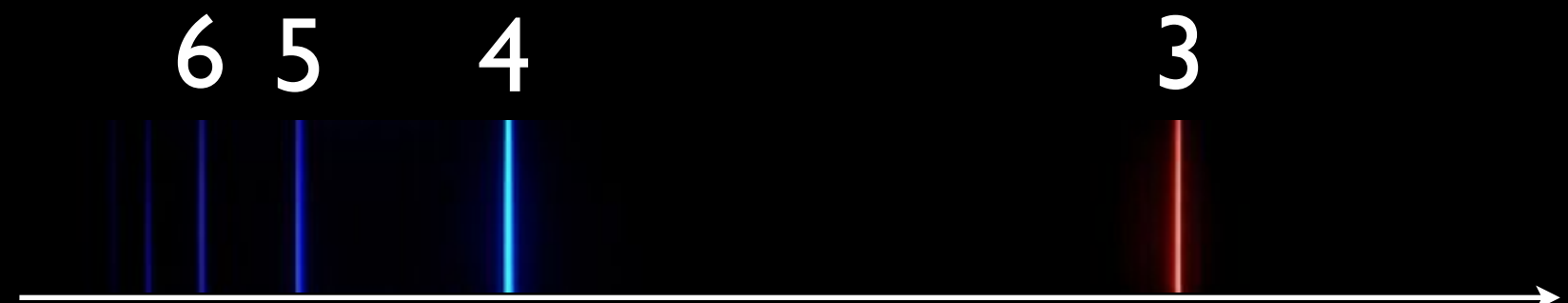
Max Planck medal - Berlino, 1929,

Le serie spettrali dell'idrogeno



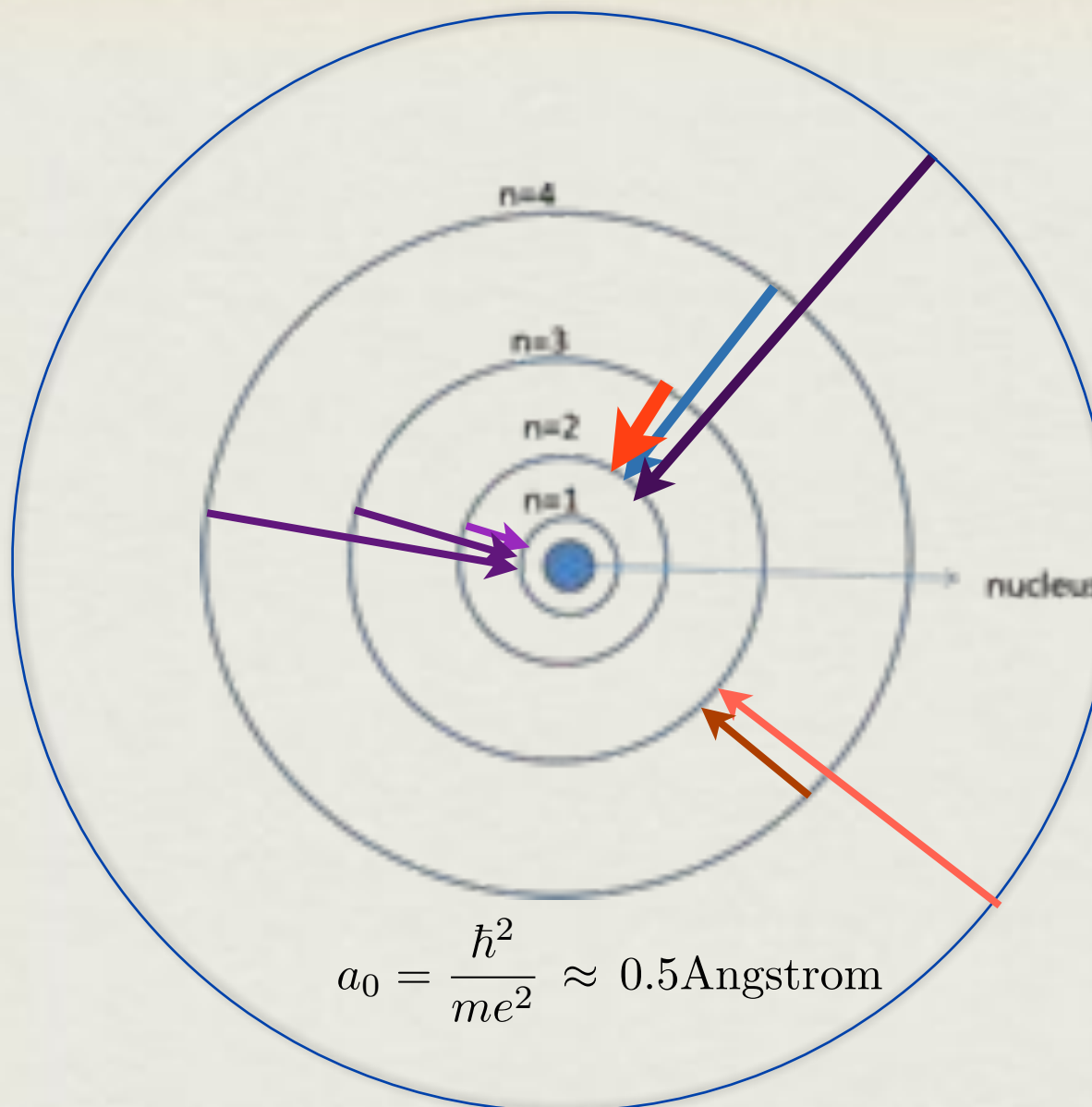
Balmer (1885)

$$\frac{1}{\lambda} = R_H \left[\frac{1}{2^2} - \frac{1}{n^2} \right] \quad n = 3, 4, 5, \dots$$



Lyman UV (1906)
Paschen IR (1908)

L'ATOMO DI BOHR



Rutherford: come fa un elettrone
a sapere su quale orbita saltare?



Niels Bohr
Premio Nobel 1922

L'Istituto Niels Bohr a Copenhagen

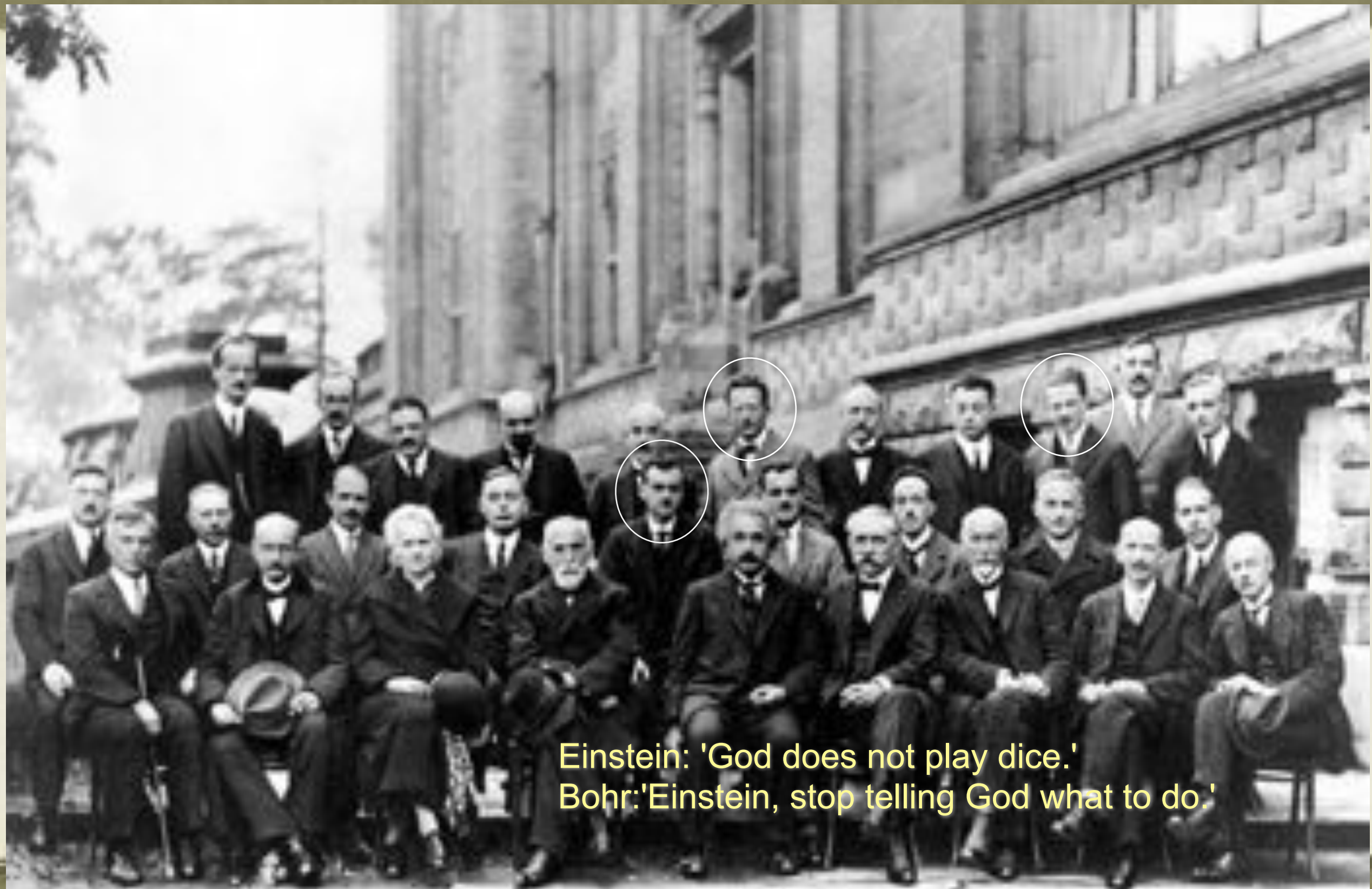


E' tutt'oggi finanziato dalla Carlsberg

Il modello di Bohr - Sommerfeld non spiegava
correttamente il **MOMENTO ANGOLARE**

LA CONFERENZA SOLVAY 1927

LA NUOVA MECCANICA QUANTISTICA



Einstein: 'God does not play dice.'
Bohr: 'Einstein, stop telling God what to do.'

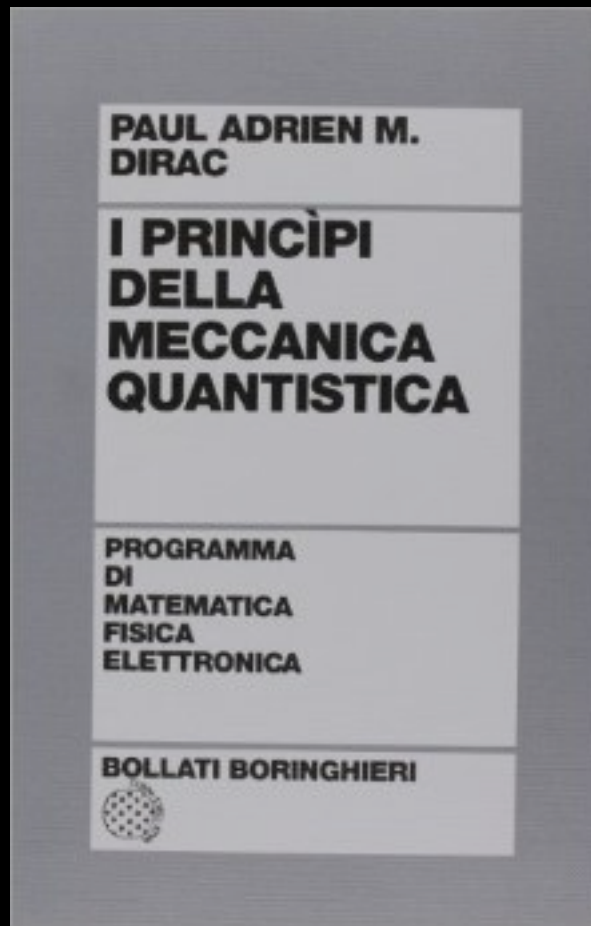
LA NUOVA MECCANICA QUANTISTICA

I fondatori Heisenberg (1932) Dirac e Schrodinger (1933)
vanno a Stoccolma a ricevere i premi Nobel





Paul A. M. Dirac
1902-1984



La quantizzazione del campo elettromagnetico (1927)
L'equazione relativistica per l'elettrone (eqz. di Dirac, 1928)



L'equazione di Dirac

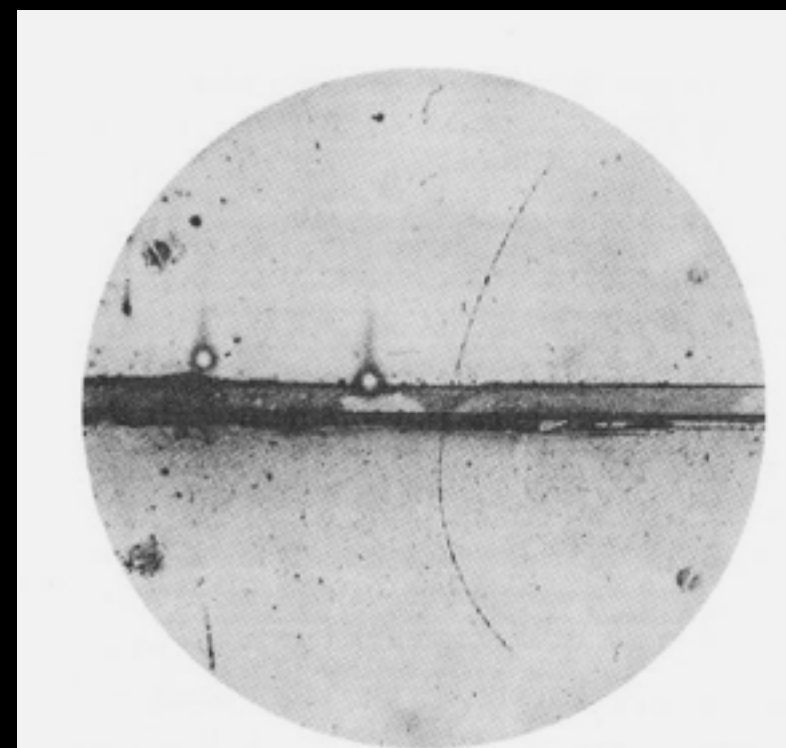
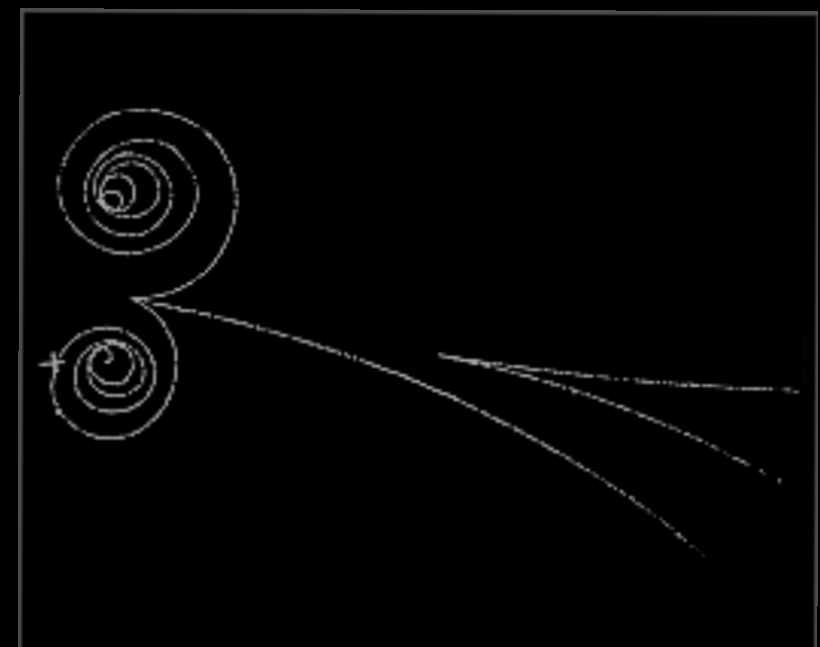
una delle formule piu' eleganti
e sorprendenti della fisica



Westminster Abbey

IL POSITRONE (1932)

(Carl D.Anderson - Nobel 1936)



Anderson's prize. This photograph alone established the existence of a positive electron. The direction of motion gives the sign of the charge. Since the particle loses energy as it passes through the plate across the cloud chamber, its curvature is greater afterward. Thus, the particle is moving from top to bottom. That it is a very low mass particle is deduced from the thinness of the ionization along the track.



positroni da raggi cosmici,
in camera a nebbia

K₄₀

P=19
N=21

19 e

Ar₄₀

P=18
N=22

18 e

I positroni sono emessi nel **decadimento radioattivo**
 $p \rightarrow n + \text{antineutrino} + \text{positrone}$

Il Potassio K₄₀ emette positroni (emivita = 1,3 miliardi di anni) ed e` il radioisotopo piu` abbondante nel corpo umano.

(circa 4400 decadimenti al secondo in un uomo di 70 kg. Il positrone si annichila con l'elettrone e produce due fotoni da 511 keV, in un processo simile - ma di intensita` assai minore - rispetto a quanto avviene in una PET)

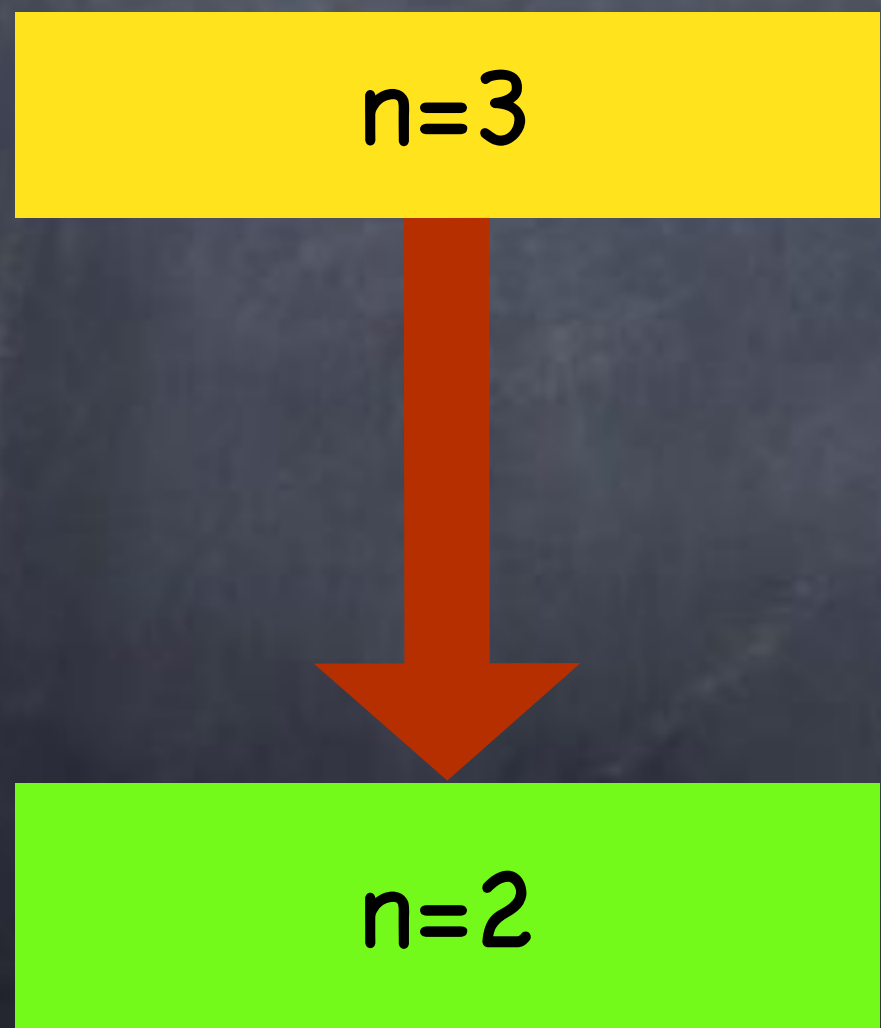
Il Potassio costituisce il 2,4% della massa della crosta terrestre,
I parte su 10mila e` l'isotopo K₄₀

Le banane sono ricche di potassio.
La radioattività di un grosso carico di banane può far scattare l'allarme degli scanner per la radioattività.
(-->*banana equivalent dose*)

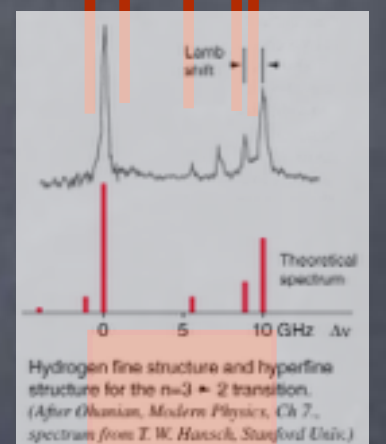


IL LAMB SHIFT

(Lamb, 1947)



riga H-alpha
alta risoluzione



riga H-alpha

interazione
e-vuoto
QED

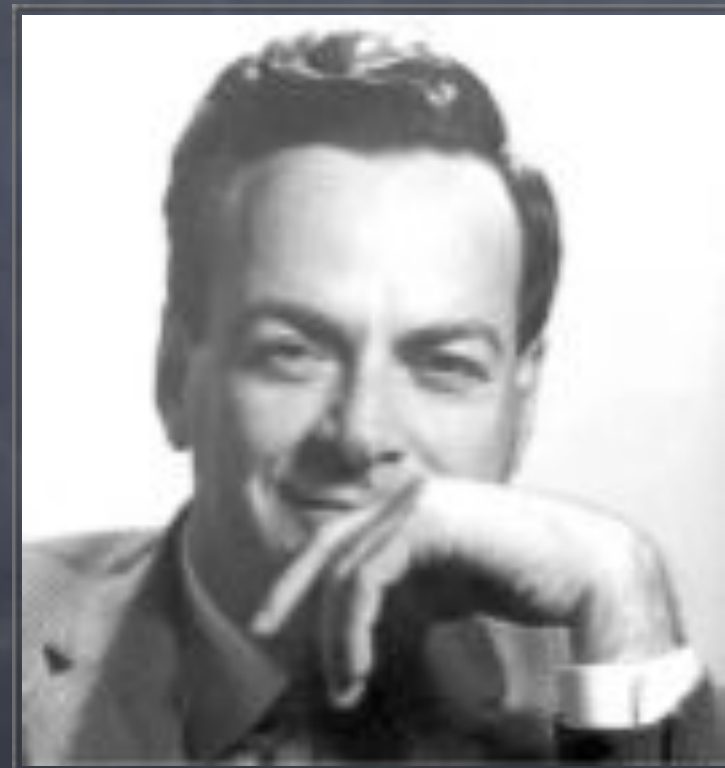
Q.E.D.

(quantum electrodynamics)

Premi Nobel della fisica 1965



Sin Itiro
Tomonaga



Richard
Feynman

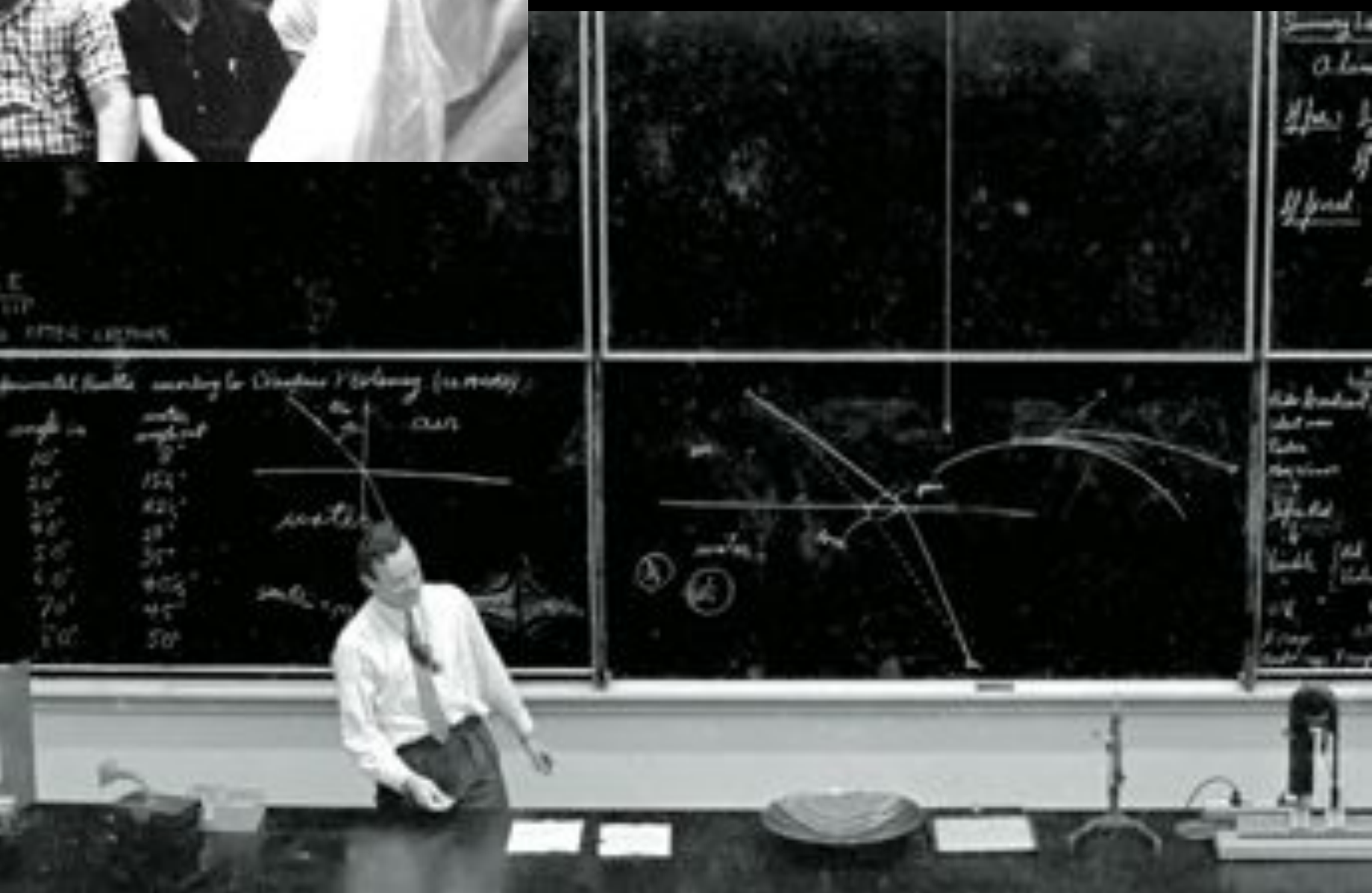


Julian
Schwinger

RICHARD FEYNMAN

1918-1988





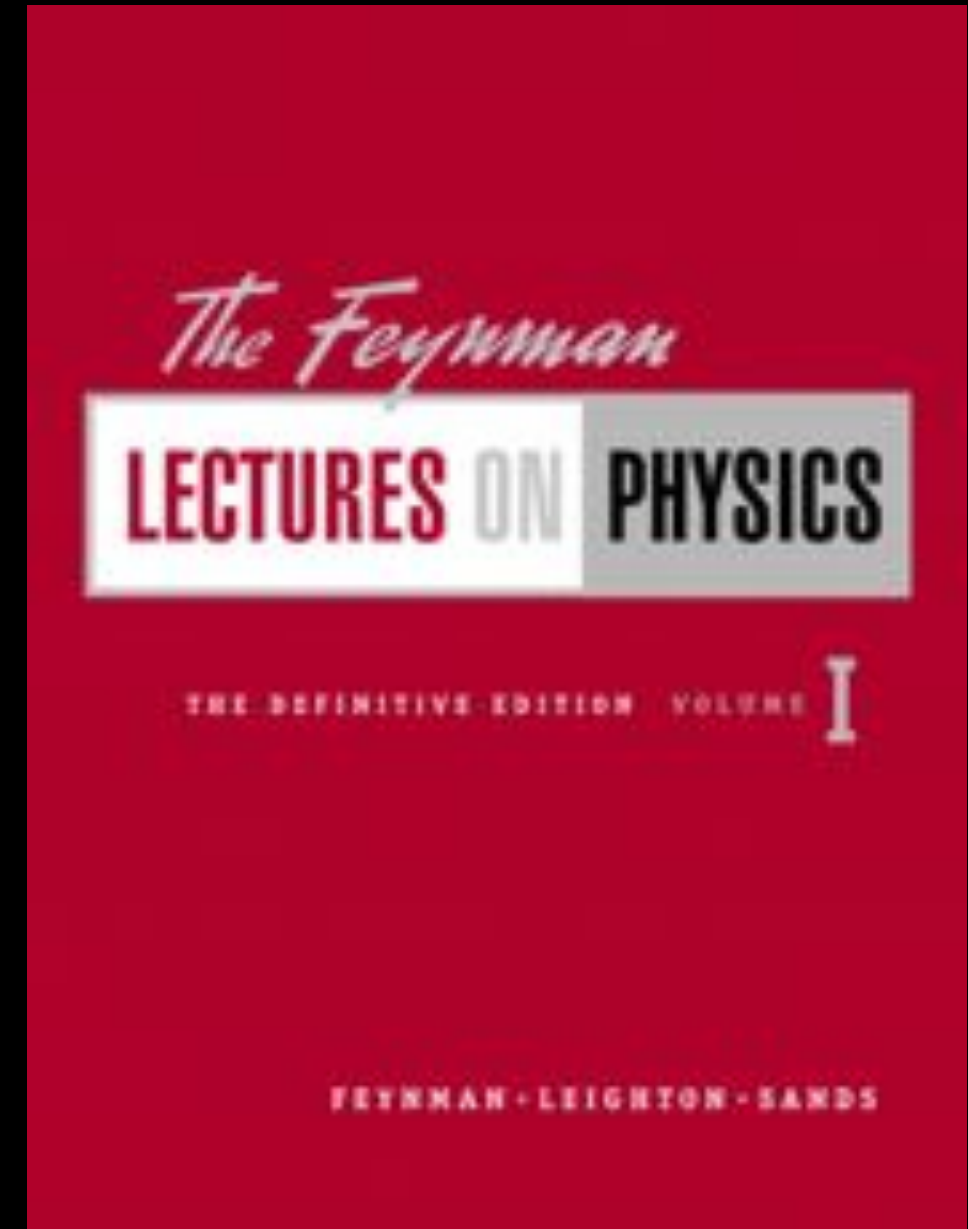
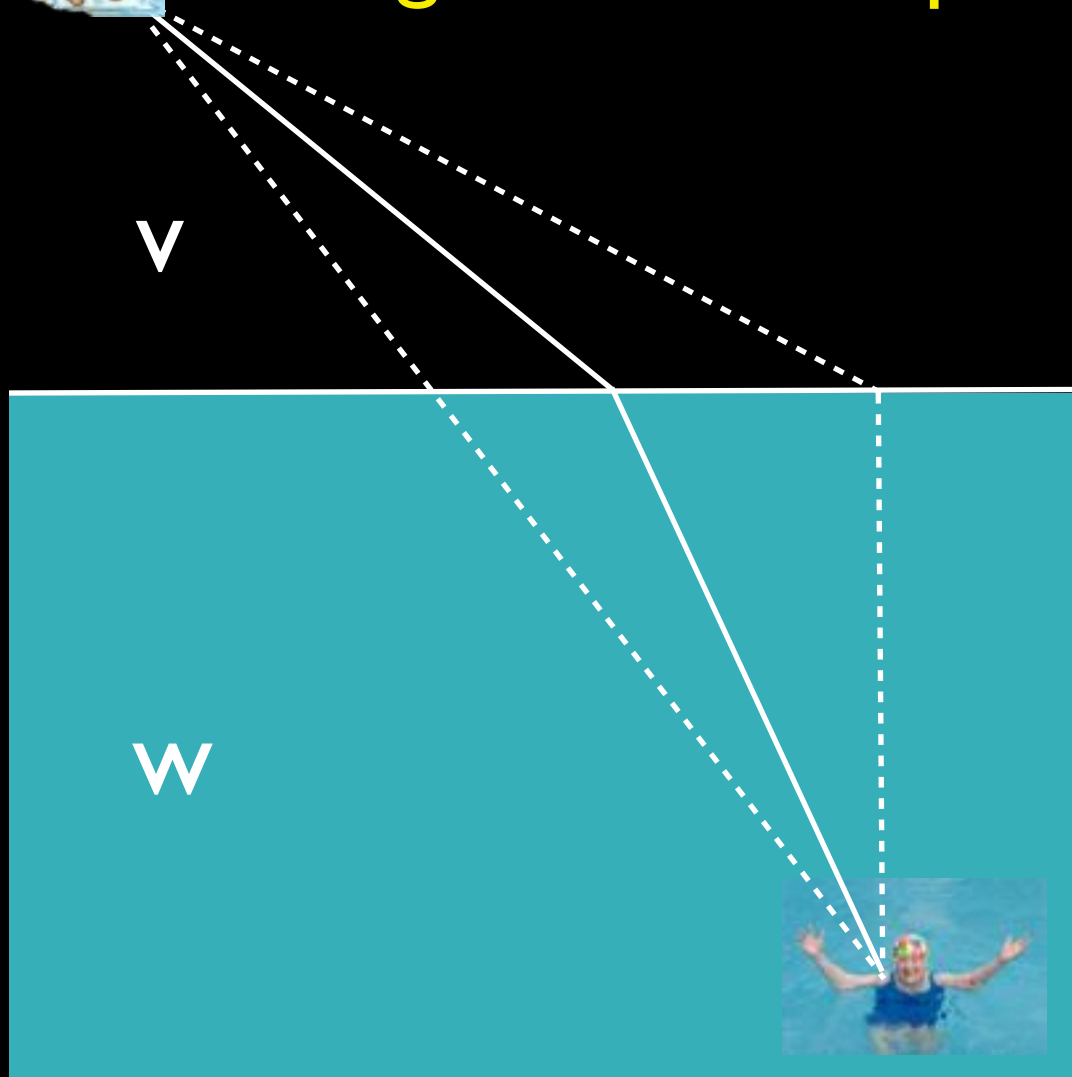
Horizontal Parallax according to Christian Huygen (in minutes)

angle in	ratio
10°	3°
20°	15.8°
30°	42.4°
40°	73.6°
50°	100.0°
60°	140.0°
70°	175.0°
80°	200.0°
90°	200.0°
100°	175.0°
110°	140.0°
120°	100.0°
130°	73.6°
140°	42.4°
150°	15.8°
160°	3°
170°	1°
180°	0°



Principio di Fermat (1662)

Il raggio di luce compie il tragitto con tempo minimo



I diagrammi di Feynman

PHYSICAL REVIEW

VOLUME 76, NUMBER 6

SEPTEMBER 15, 1949

Space-Time Approach to Quantum Electrodynamics

R. P. FEYNMAN

Department of Physics, Cornell University, Ithaca, New York
(Received May 9, 1949)

In this paper two things are done. (1) It is shown that a considerable simplification can be attained in writing down matrix elements for complex processes in electrodynamics. Further, a physical point of view is available which permits them to be written down directly for any specific problem. Being simply a restatement of conventional electrodynamics, however, the matrix elements diverge for complex processes. (2) Electrodynamics is modified by altering the interaction of electrons at short distances. All matrix elements are now finite, with the exception of those relating to problems of vacuum polarization. The latter are evaluated in a manner suggested by Pauli and Bethe, which gives finite results for these matrices also. The only effects sensitive to the modification are changes in mass and charge. Such changes could not be directly observable, are insensitive to the details of the theory (except at extreme energies). For such processes the range of the modification must be taken as the range of the modification of the theory, and then agree with those of Schwinger. A detailed discussion of the theory will be given elsewhere.

THIS paper should be considered as a continuation of a preceding one¹ on the motion of electrons, neglecting interactions with nuclei, by dealing directly with the Hamiltonian differential equations. The technique is applied to include interactions with nuclei, and to express in simple terms the solution of quantum electrodynamics.

For most practical calculations in electrodynamics the solution is ordinarily obtained by means of a matrix element. The matrix element is obtained by an expansion in powers of $e^2/\hbar c$, the order of the term corresponding to the inclusion of an interaction with one virtual quantum. It appears that a considerable simplification can be achieved in writing down matrix elements for complex processes. Furthermore, the expansion can be written directly from a physical point of view in space-time. It is the purpose of this paper to describe how this may be done. We shall also discuss methods of handling the divergent integrals which appear in these matrix elements.

The simplification in the formulae results mainly from the fact that previous methods unnecessarily separated individual terms in processes that were closely related physically. For example, in the exchange of a virtual photon between two electrons there were two terms depending on which electron emitted and which absorbed the virtual photon. Yet, in the virtual states considered, timing relations are not significant. Only the order of operators in the matrix must be maintained. We have seen (I), that in addition, processes in which virtual pairs are produced can be combined with others in which only

and presumably consistent, method is therefore available for the calculation of all processes involving electrons and photons.

The simplification in writing the expressions results from an emphasis on the over-all space-time view resulting from a study of the solution of the equations of electrodynamics. The relation of this to the more conventional Hamiltonian point of view is discussed. It would be very difficult to make the modification which is proposed if one insisted on having the equations in Hamiltonian form.

The methods apply as well to charges obeying the Klein-Gordon equation, and to the various meson theories of nuclear forces. Illustrative examples are given. Although a modification like that

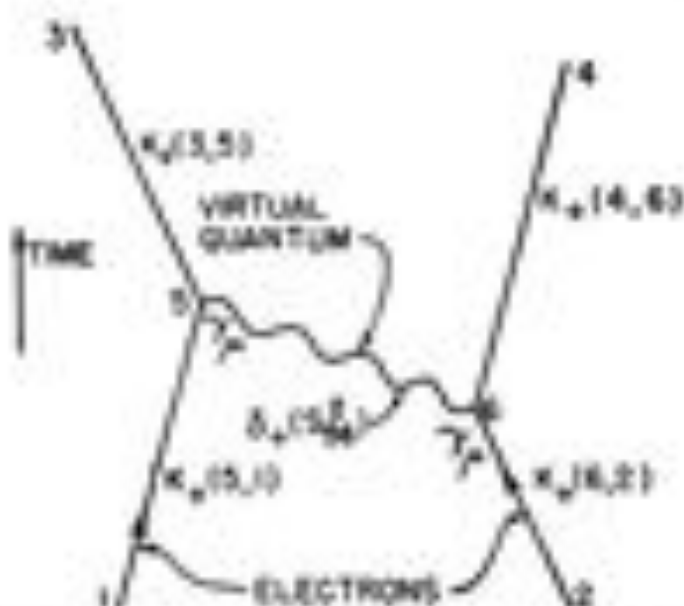


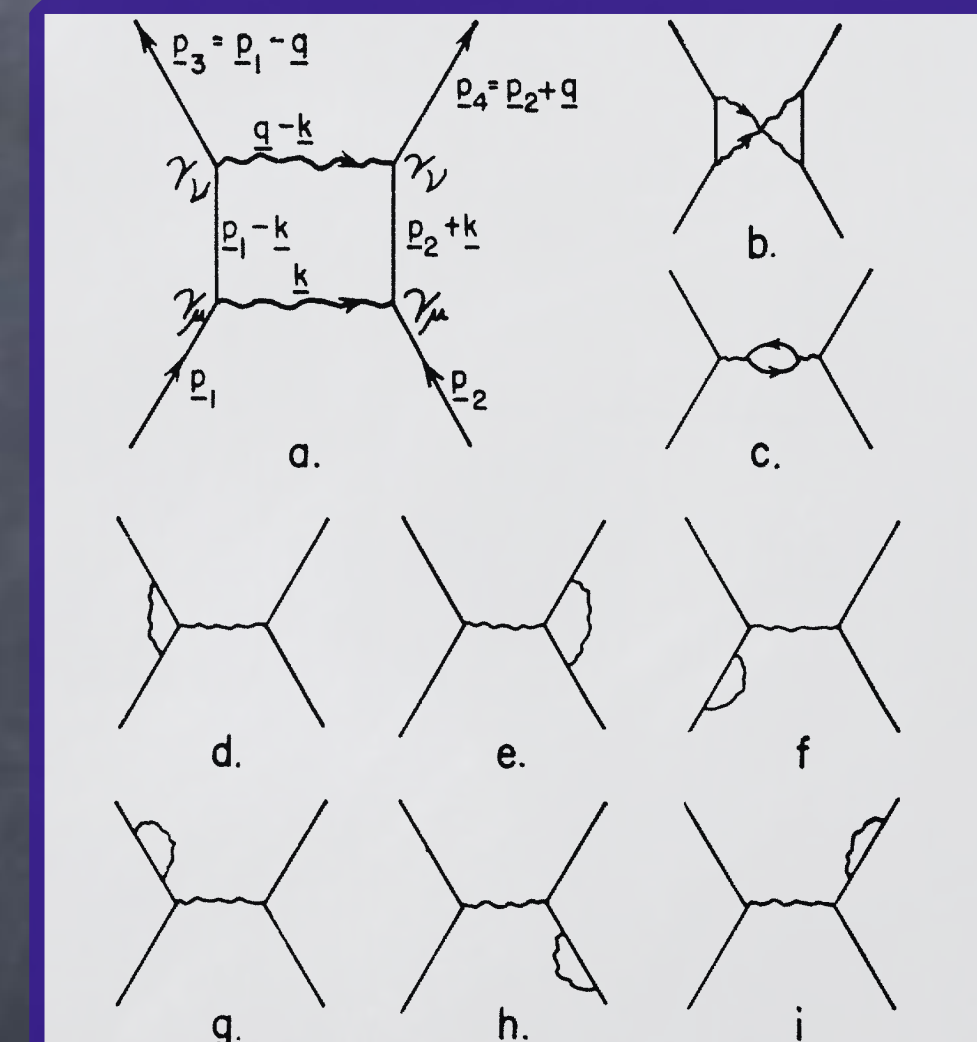
FIG. 1. The fundamental interaction Eq. (4). Exchange of one quantum between two electrons.

therefore, the self-energy diverges.² The modification of the interaction between charges is next made, and it is shown that the self-energy is made convergent and corresponds to a correction to the electron mass. After the mass correction is made, other real processes are finite and insensitive to the "width" of the cut-off in the interaction.³

Unfortunately, the modification proposed is not completely satisfactory theoretically (it leads to some difficulties of conservation of energy). It does, however, seem consistent and satisfactory to define the matrix

² For a discussion of this modification in classical physics see R. P. Feynman, Phys. Rev. 74 939 (1948), hereafter referred to as A.

³ A brief summary of the methods and results will be found in



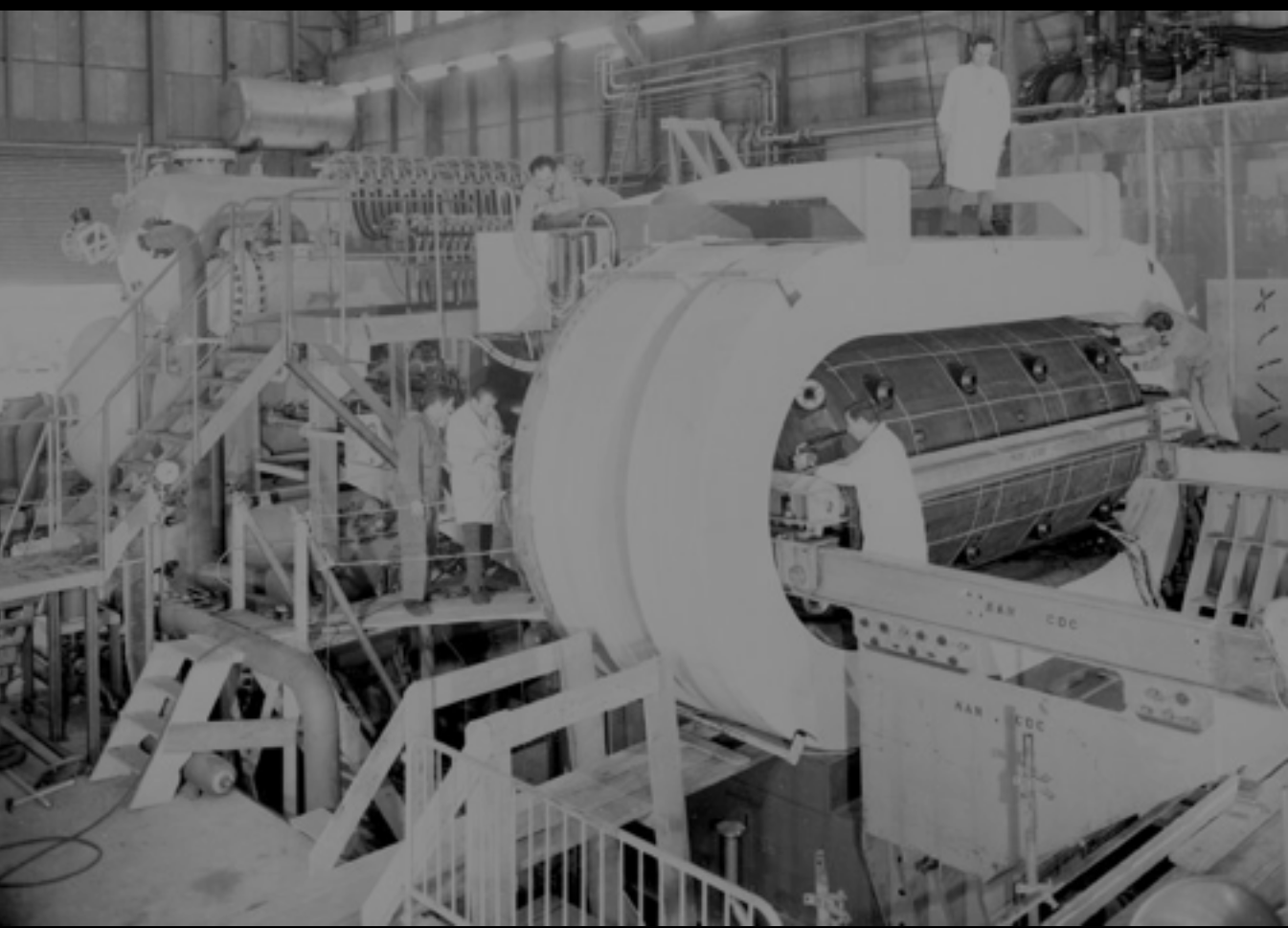


Proton
Synchroton

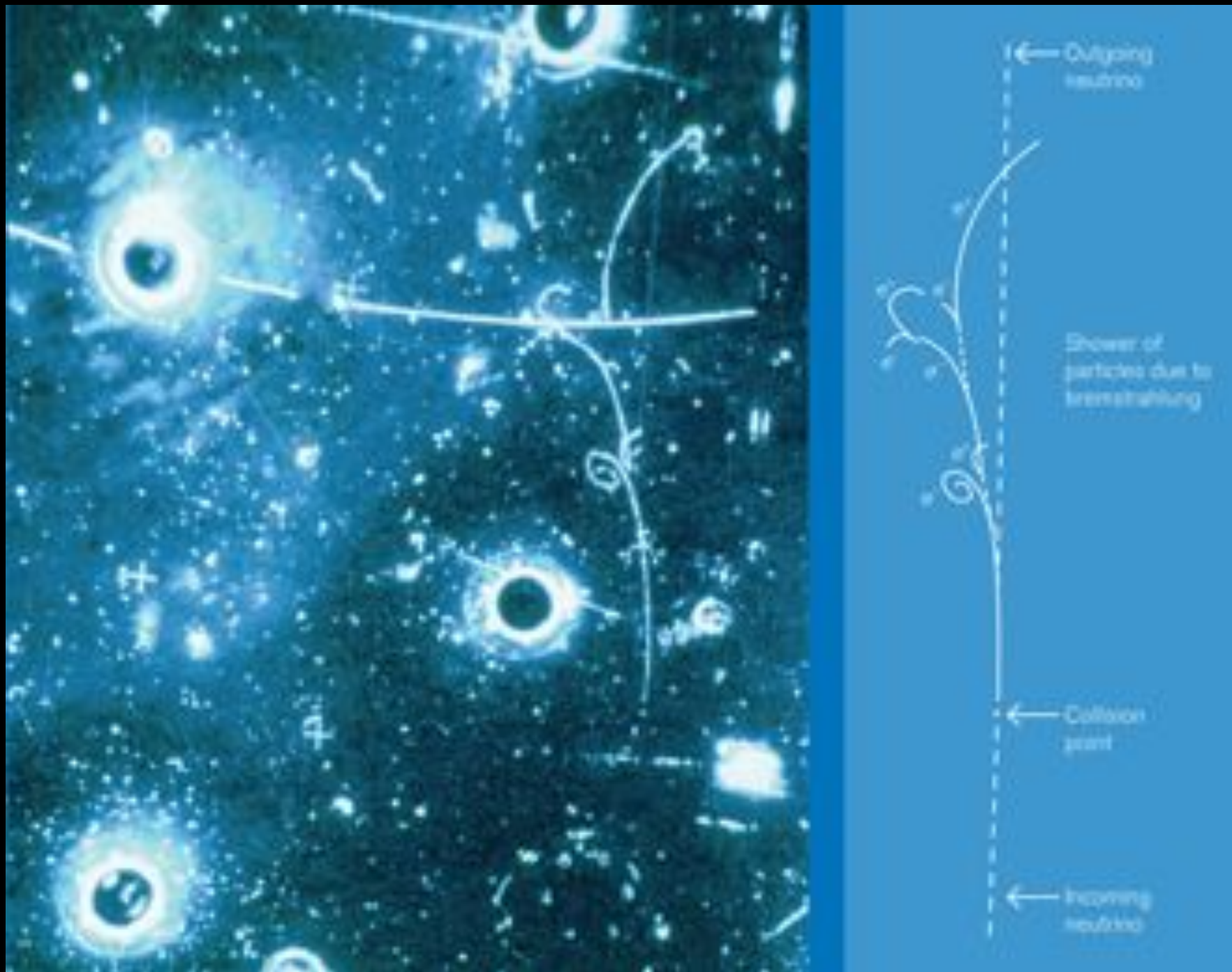
CERN



Gargamelle



Le correnti deboli neutre 1973



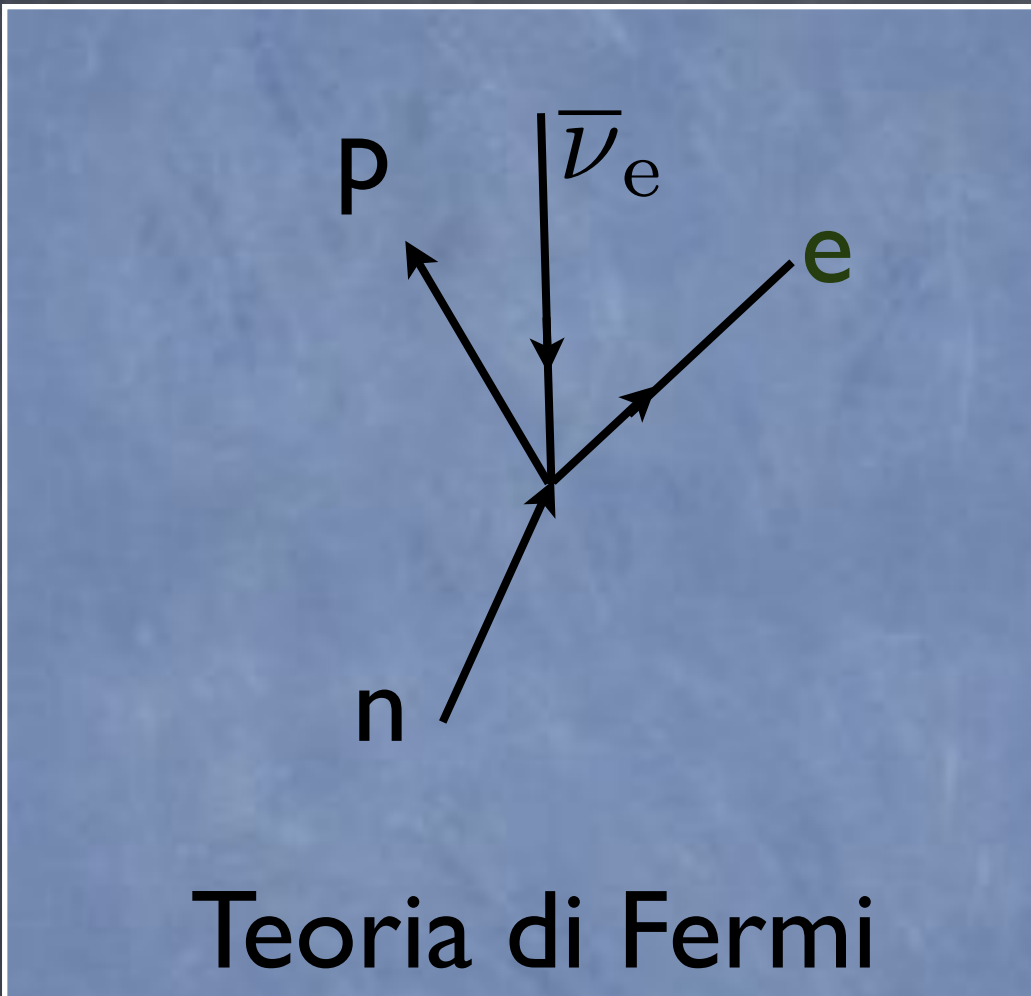
Osservazione interazione diretta neutrino-elettrone
(camera a bolle Gargamelle, SPS - CERN)



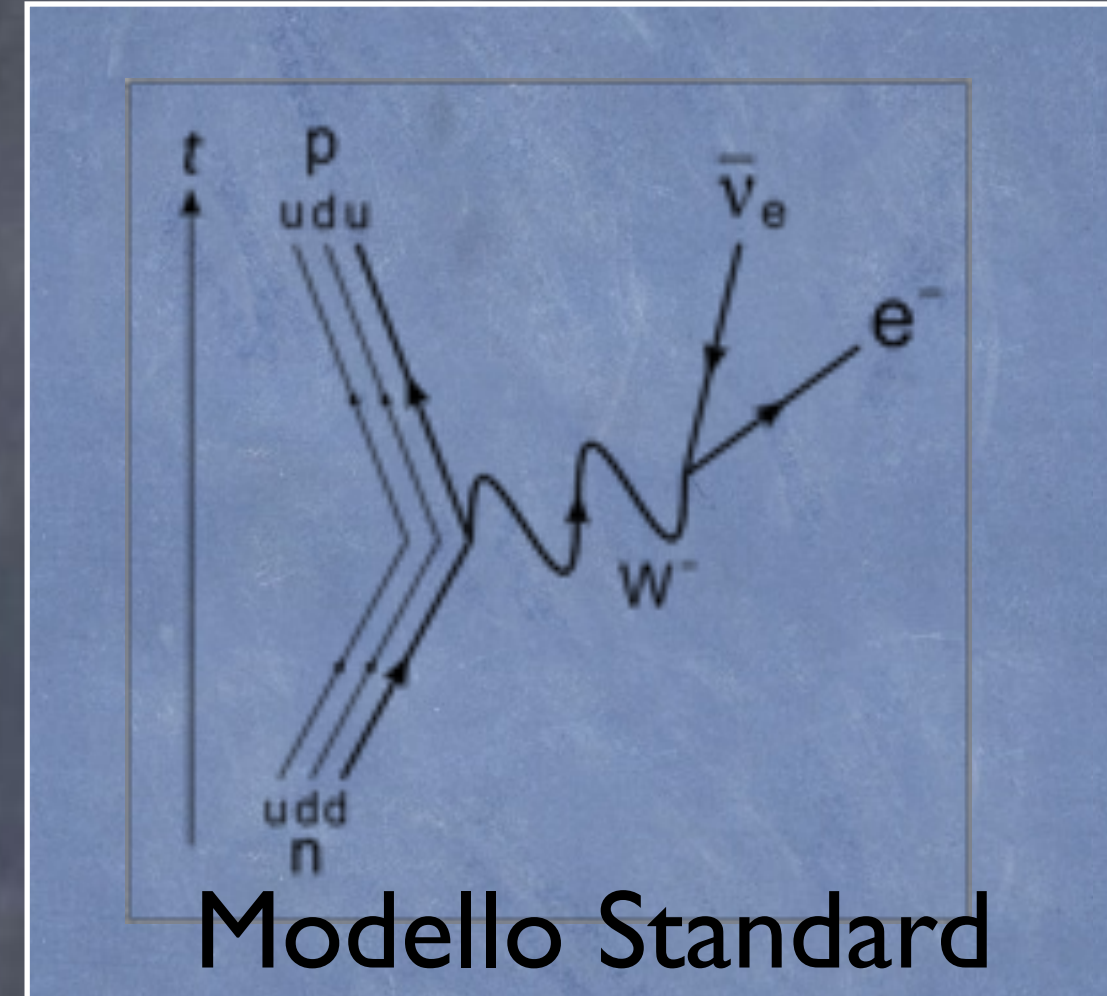
LA TEORIA ELETTRICO-DEBOLE

Glashow- Salam - Weinberg (Nobel 1979)

Un processo (elettro)debole: il decadimento radioattivo



Teoria di Fermi



Modello Standard

FOTONE, W^+ , W^- , Z sono i bosoni delle interazioni elettrodeboli, determinate da un unico principio di simmetria che li lega assieme

Nel modello standard un analogo principio di simmetria descrive le interazioni forti (quark-gluoni)



Carlo Rubbia apprende del premio Nobel durante la visita all'ICTP (1984)

Rubbia modifìco` l'acceleratore SPS del CERN in un collisionatore di protoni e antiprotoni. A capo del gruppo UA1 di cento fisici, scoprì` nel 1983 i bosoni vettoriali W^+ , W^- e Z , confermando la teoria elettrodebole.

Elementary Particles

Quarks	U up	C charm	t top	γ photon
Leptons	d down	s strange	b bottom	g gluon
	ν_e electron neutrino	ν_μ muon neutrino	ν_τ tau neutrino	Z Z boson
	e electron	μ muon	τ tau	W W boson

HIGGS

The particle physicist's periodic table, showing the quarks and leptons comprising matter and the force carriers.

non abbiamo definitivamente capito

cosa e` la luce

ma ogni passo compiuto (sintesi di Maxwell, M.Q. e
fotoni, Q.E.D., ottica quantistica ...) ha aggiunto qualcosa
per descriverla, produrla, misurarla ...